# Journée technique CFBR – CFMS – SPTF FNTP du 16 mai 2019

23 Avenue Condorcet, Villeurbanne



# Le comportement des sols en fonction du degré de saturation

Luc Boutonnier, Egis Thierry Dubreucq, IFSTTAR

Journée organisée par :







# CONCEPTION ET CONSTRUCTION

des ouvrages en sols fins



Objectif: modèle conceptuel pour appréhender de manière simplifiée le comportement des ouvrages en sols fins

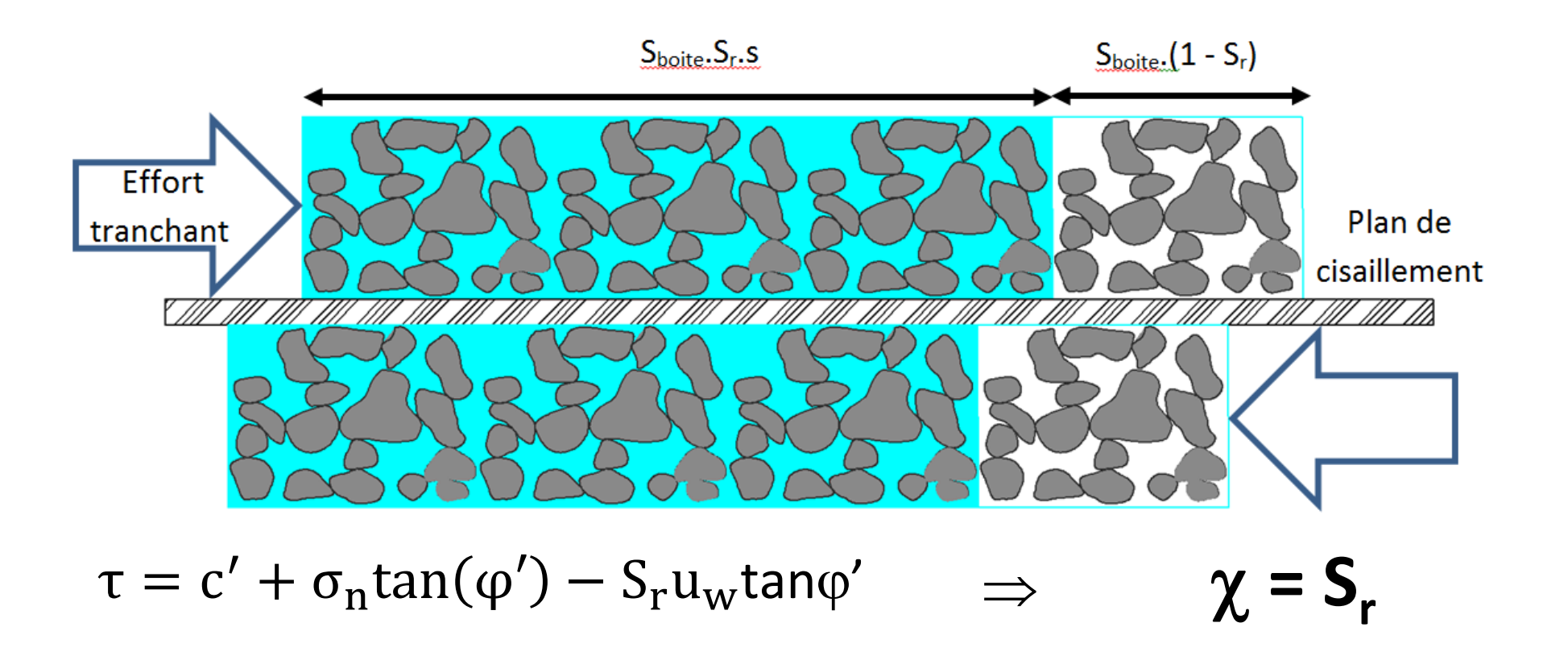
#### Sommaire

- Dualité du comportement: χ (cisaillement) et volumique
- Comportement en fonction de S<sub>r</sub>
- Calcul de χ depuis l'optimum
- Effet de l'histoire

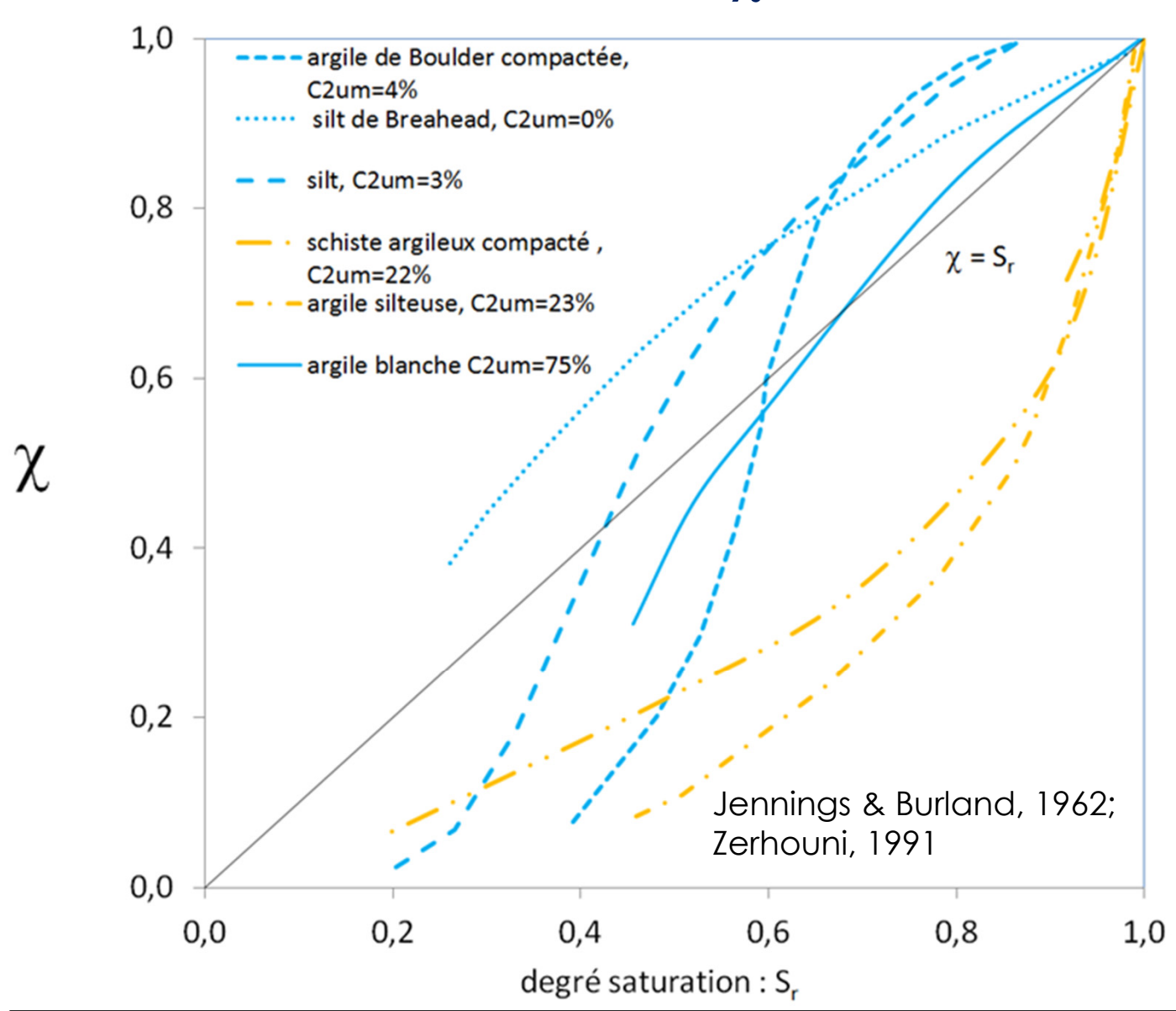
# Comportement au cisaillement: le coefficient $\chi$

$$\tau = c' + (\sigma_n - u_a) \tan \phi' + \chi s \cdot \tan \phi' \approx c' + (\sigma_n + \chi s) \tan \phi'$$

$$s = u_a - u_w \approx - u_w \qquad \tau_{cap} = \sigma_{cap} \cdot \tan \phi' \qquad \sigma_n' \text{ non saturé}$$
(Bishop)



### Mesure du coefficient χ



Mesure au triaxial (cisaillement)

Explication du faisceau de courbes?

Comportement sous chargement isotrope ou oedométrique?



$$p' = p - \chi u_w = p + \chi s$$

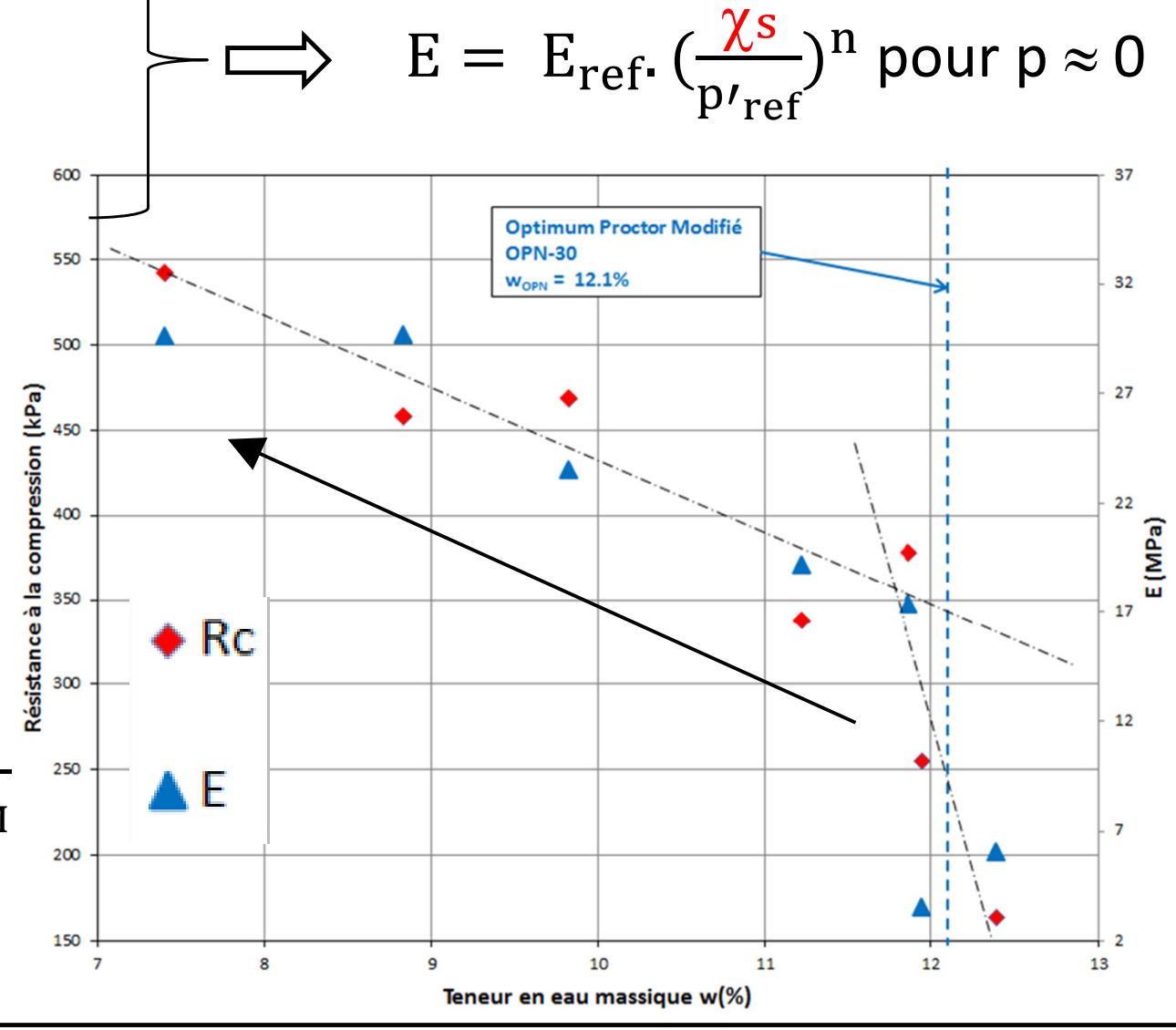
$$E = E_{ref} \cdot \left(\frac{p'}{p'_{ref}}\right)^n$$

$$R_c = \chi s. \frac{2.\sin(\phi')}{1-\sin(\phi')}$$

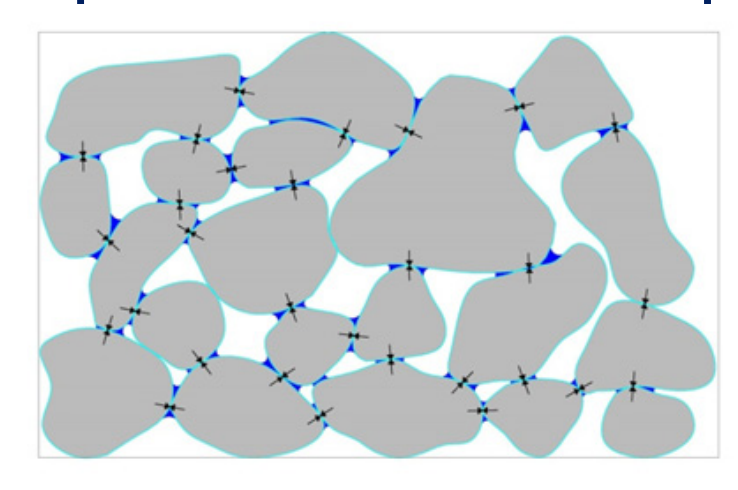
n = 1 (limon)  

$$\frac{R_c}{R_{c \text{ OPM}}} = \frac{E}{E_{OPM}} = \frac{\chi s}{1.s_{OPM}}$$

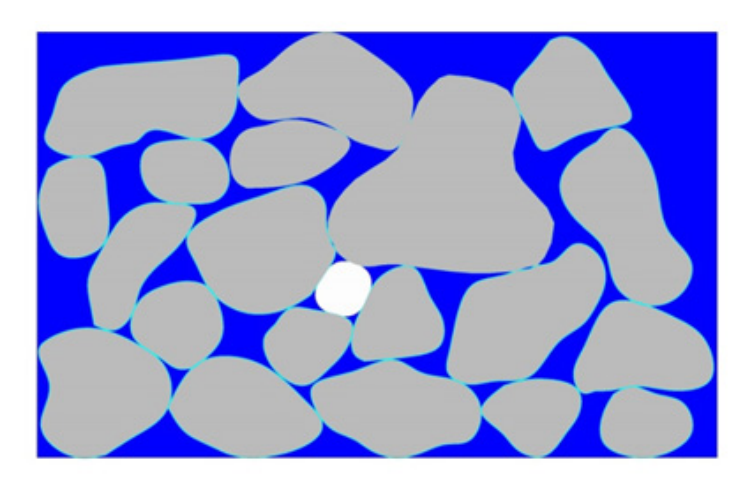
$$\sigma'_{cap} = \chi s$$



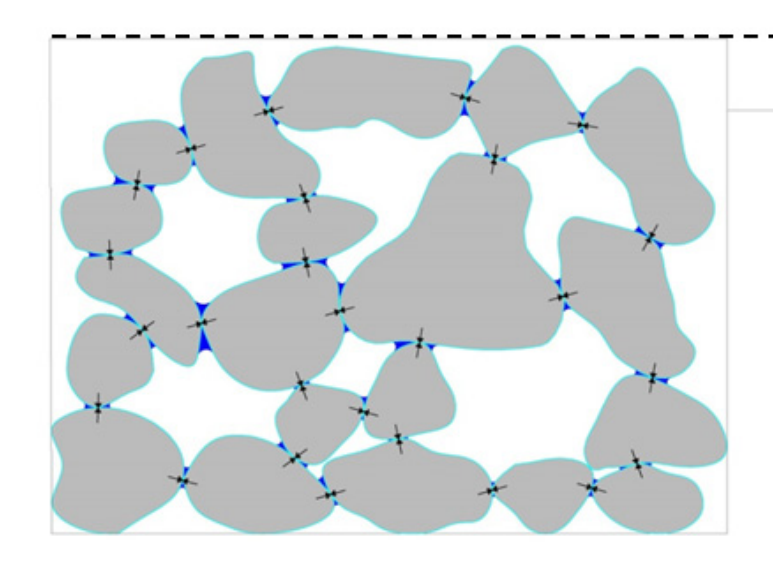
### Comportement volumique à l'imbibition: limons et sables



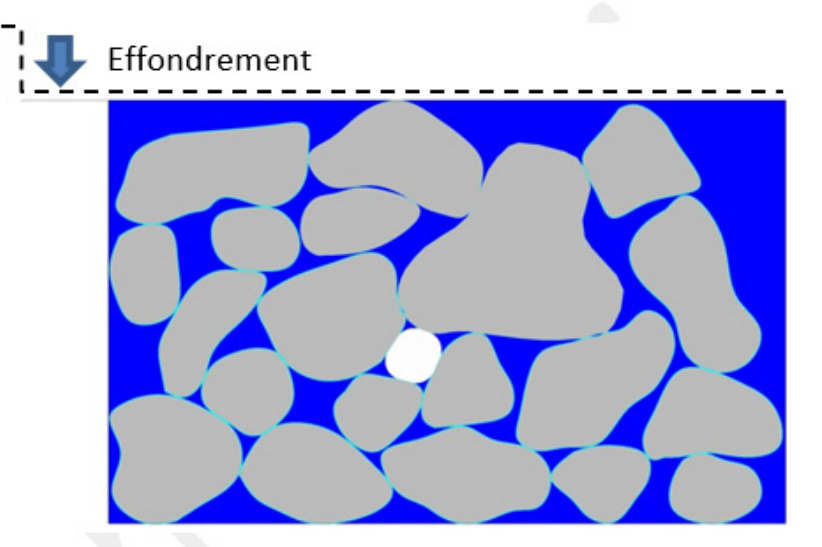
Avant imbibition (structure dense)



Après imbibition (structure dense)

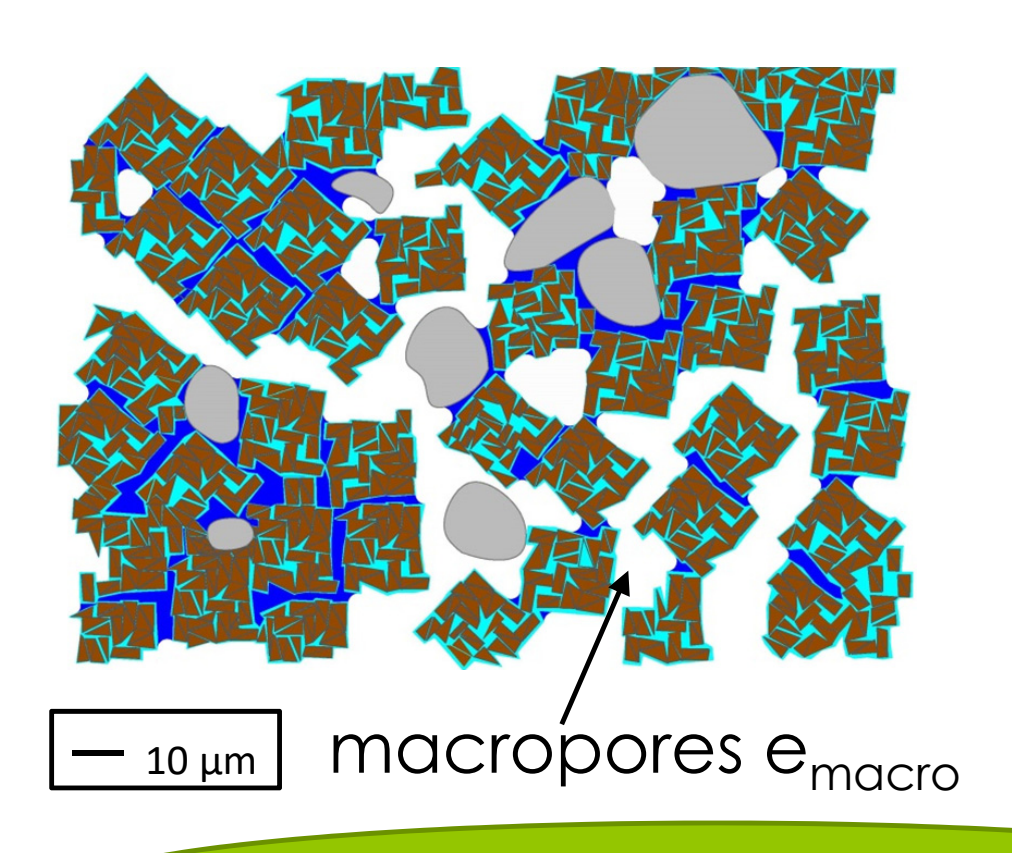


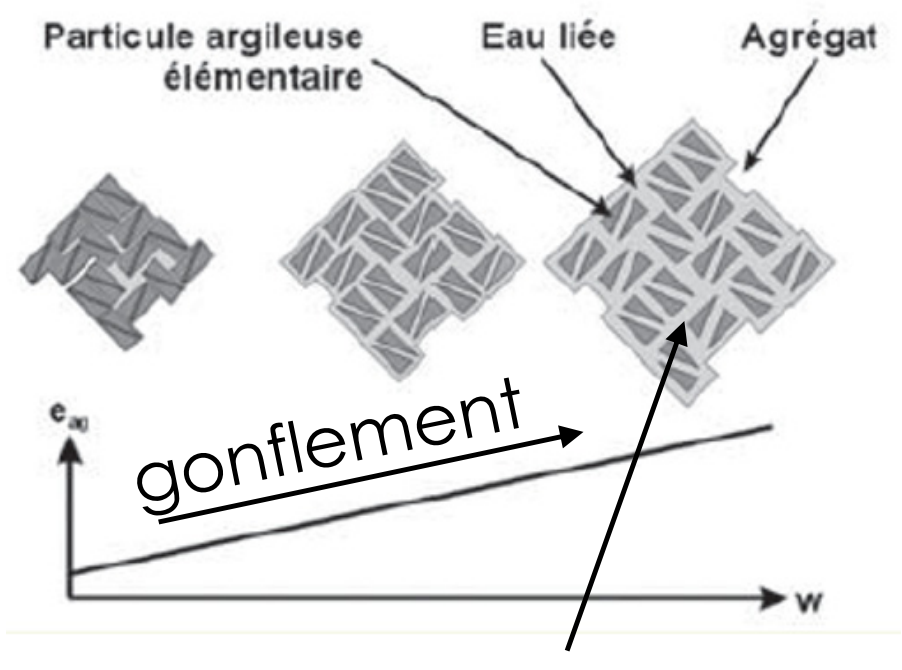
Avant imbibition (structure lâche)



Après imbibition (structure dense)

### Comportement volumique à l'imbibition dans les argiles





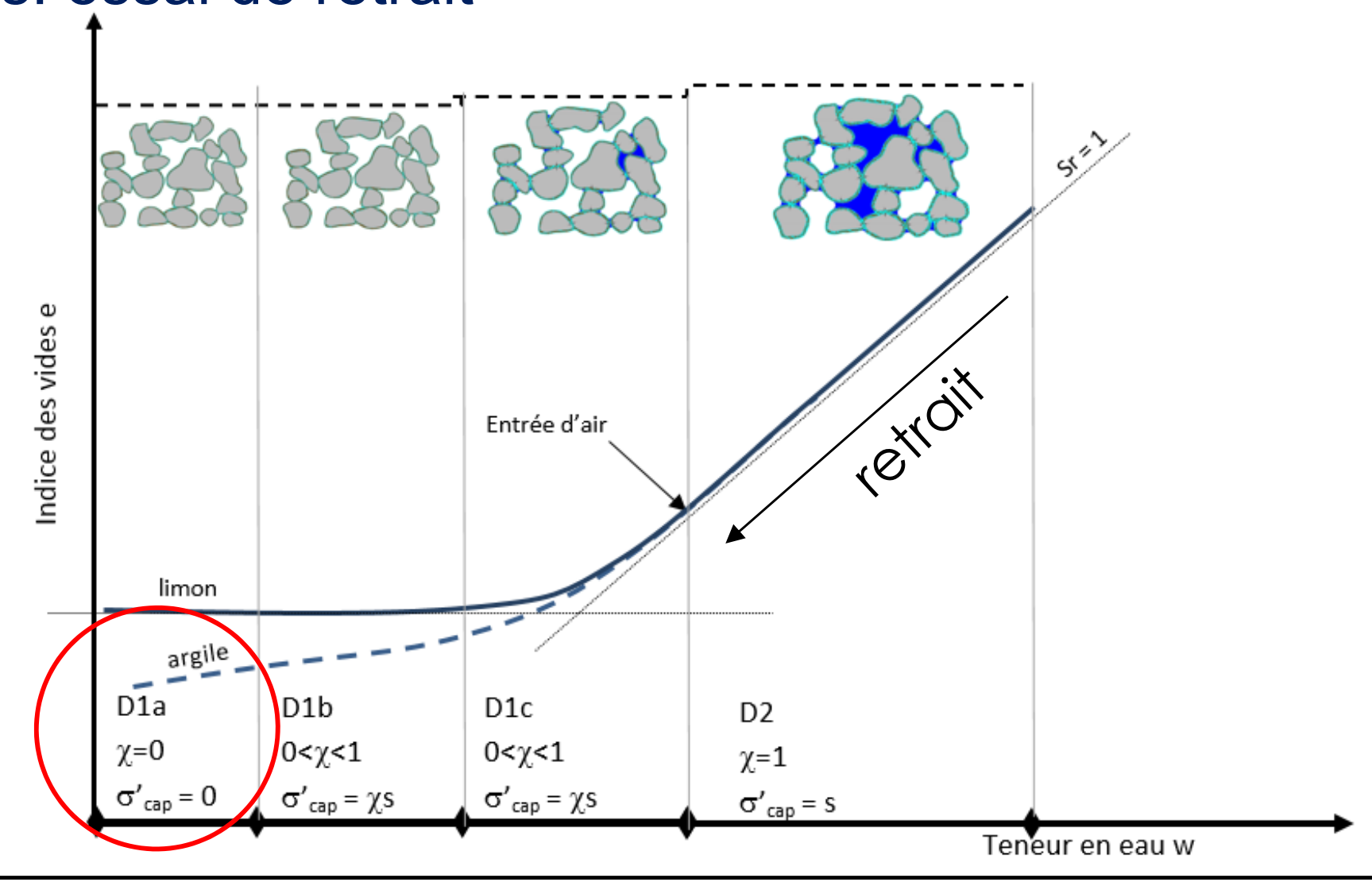
micropores e<sub>ag</sub>

### Imbibition sous charge

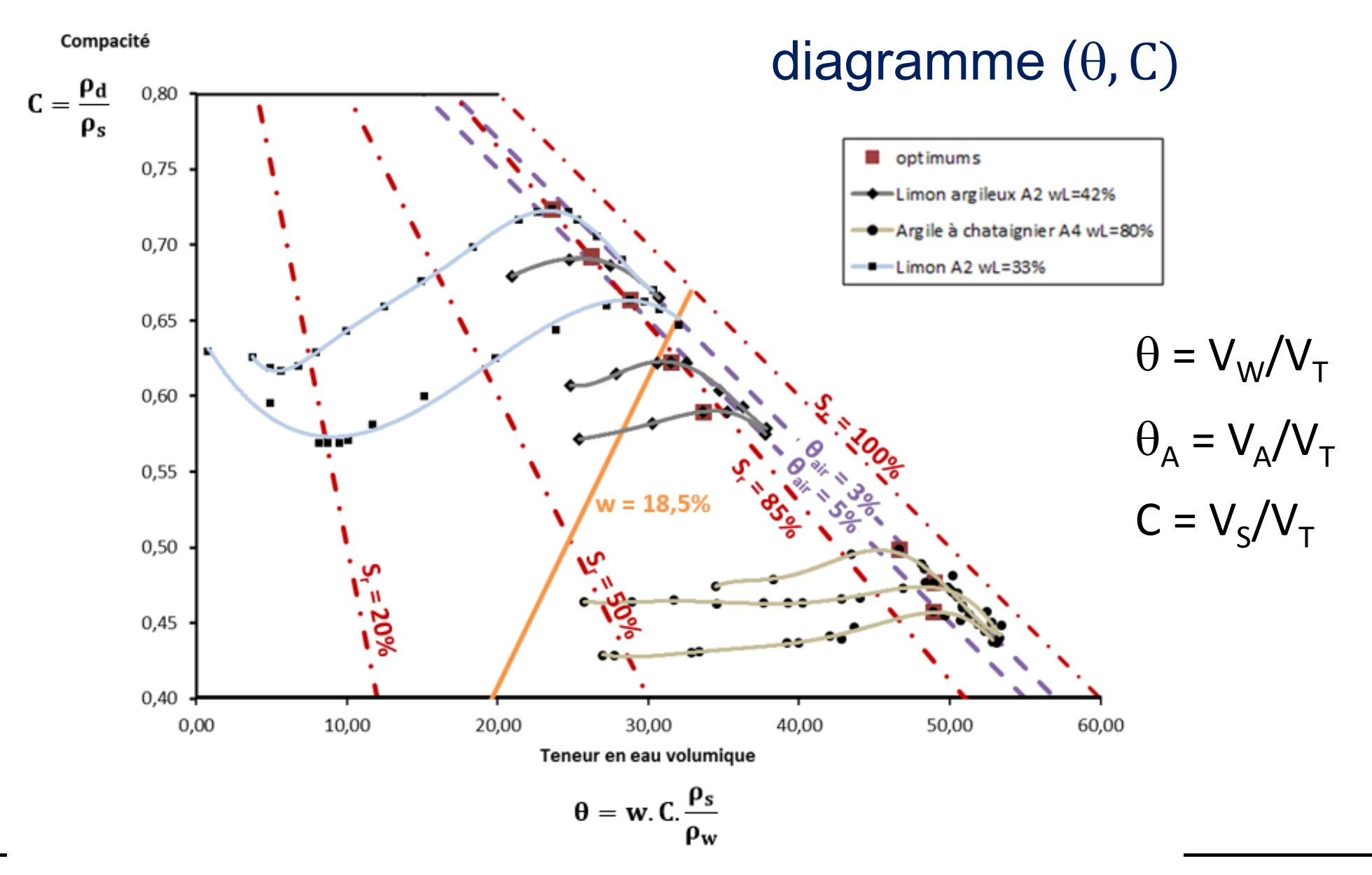


 $\Delta e_{macro} + \Delta e_{ag} < 0$ : effondrement  $\Delta e_{macro} + \Delta e_{ag} > 0$ : gonflement

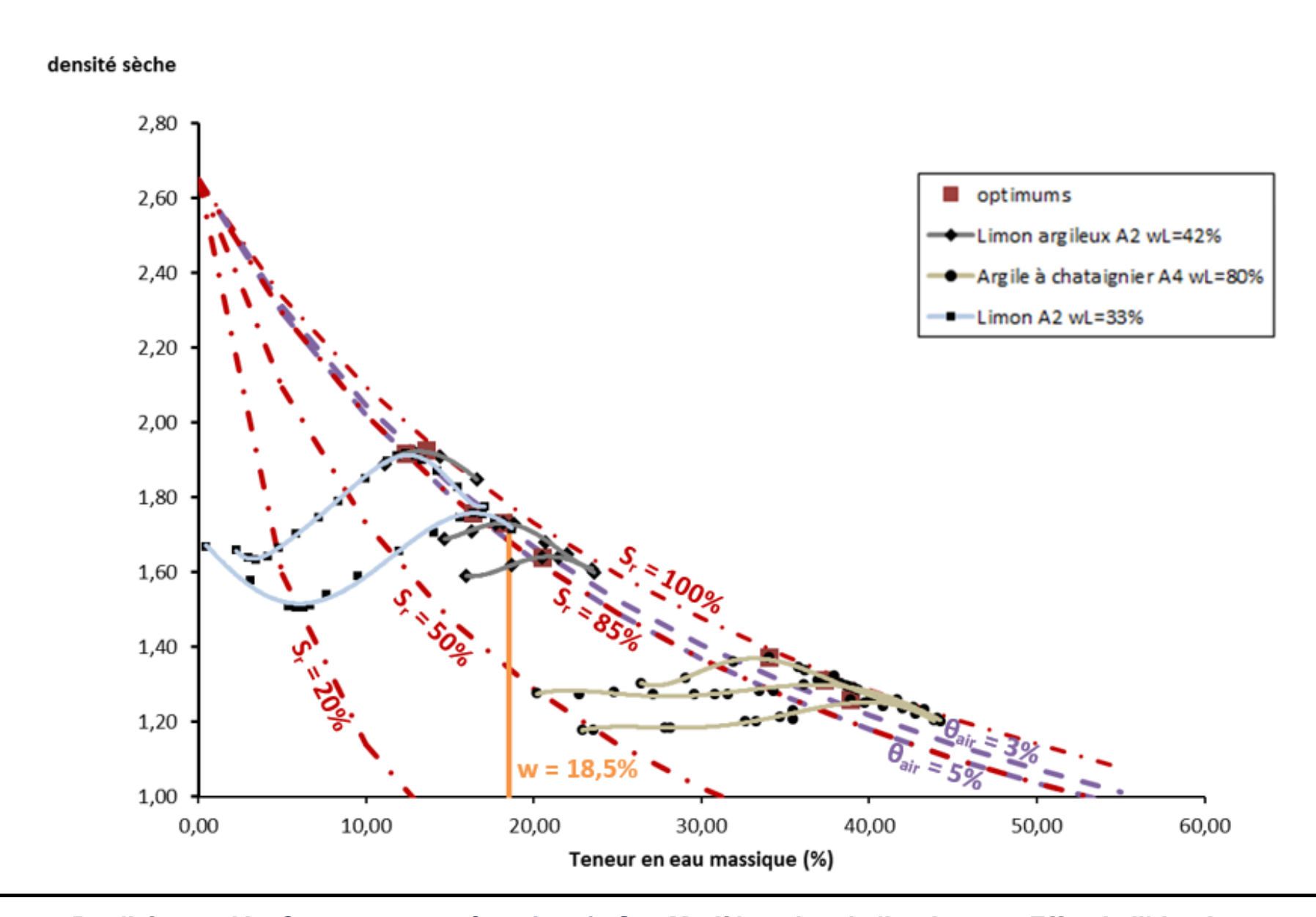
Sources: Ferber (2005), Romero et al. (1999, 2011) Les limites de  $\chi$  et des contraintes effectives dans les argiles: essai de retrait

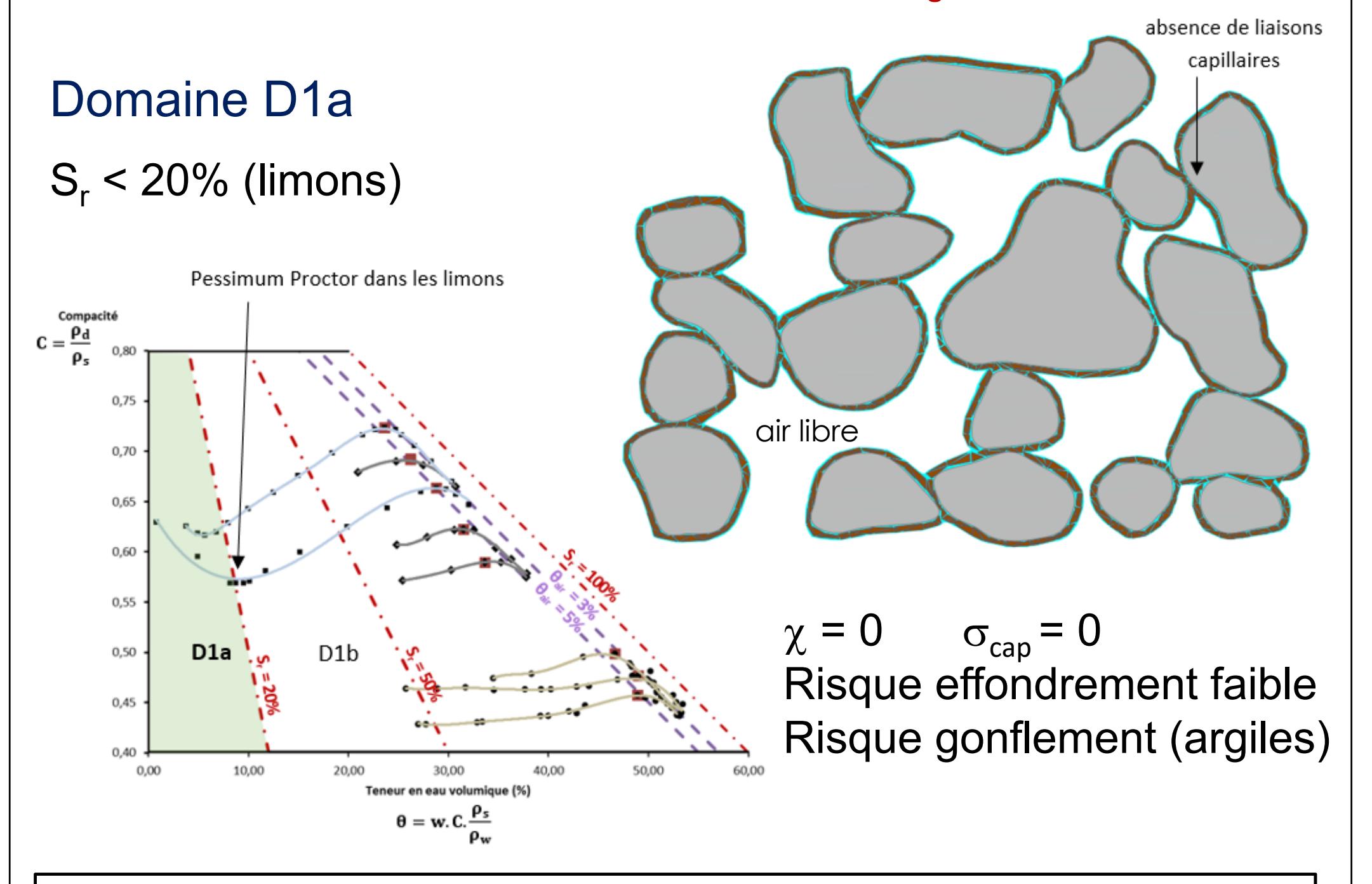


# Comportement des sols compactés fonction de S<sub>r</sub>:



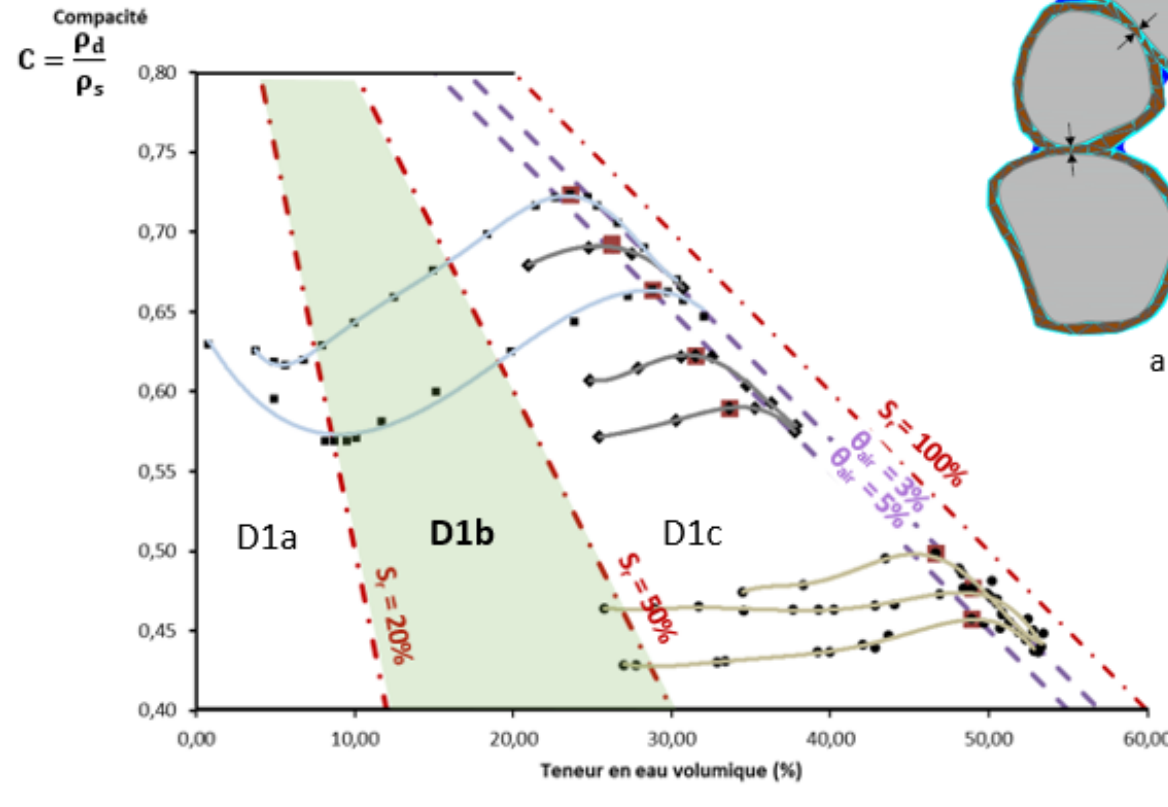
# diagramme (w, $\rho_d$ )



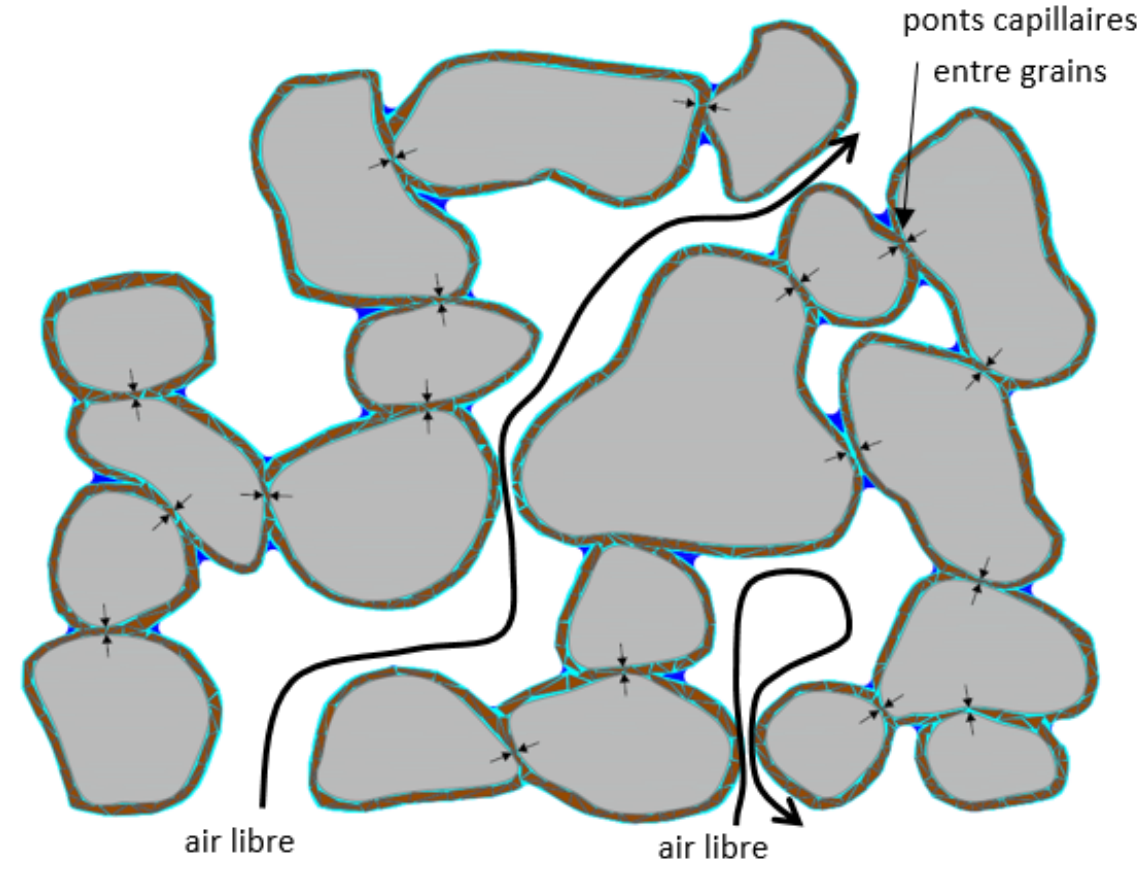


## **Domaine D1b**

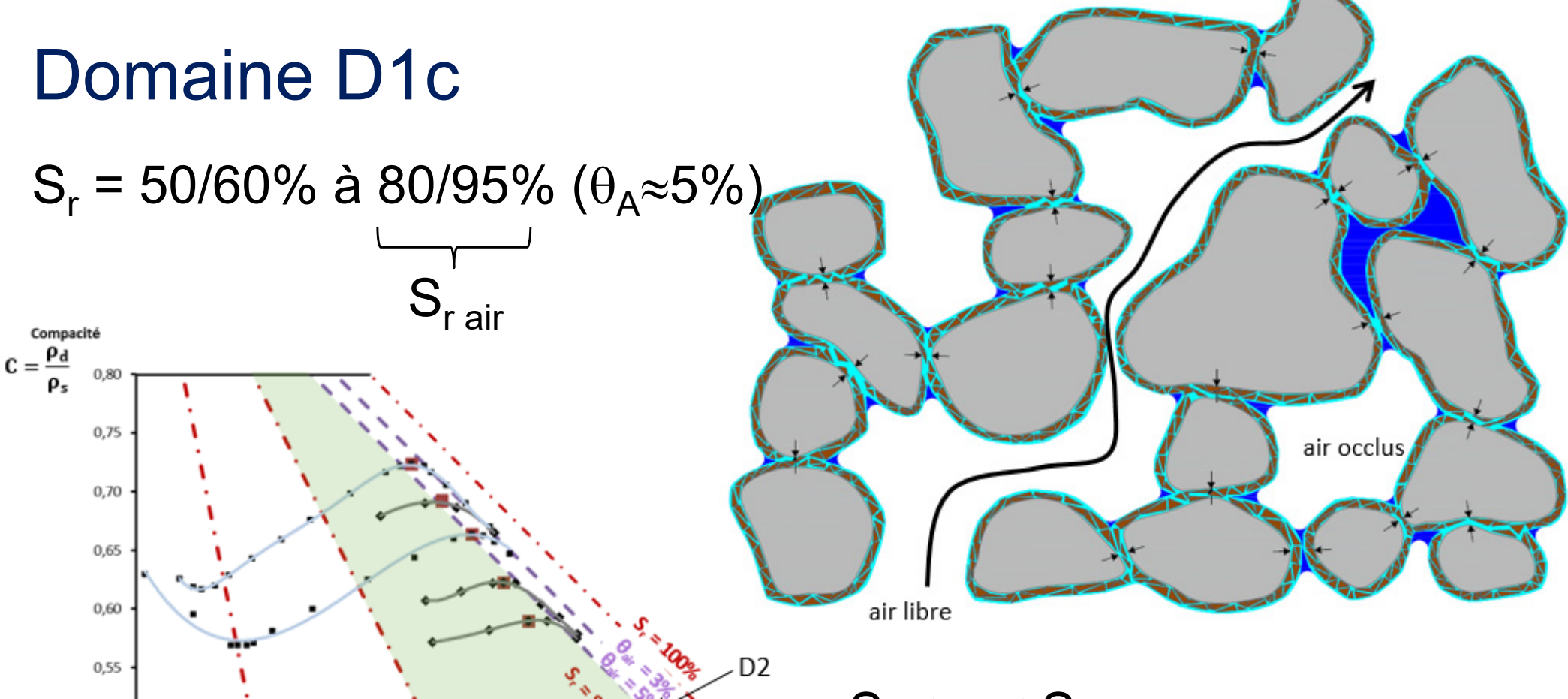
 $S_r = 20\%$  à 50/60% (limite s/ts du GTR)



 $\theta = w. C. \frac{\rho_s}{}$ 



 $0 < \chi < S_r$  et  $\sigma_{cap} = \chi s \approx -\chi u_w$  risque effondrement (limons) risque effondrement ou gonflement (argiles)



 $S_r < \chi < S_{rair}$   $\sigma_{cap} = \chi s \approx -\chi u_w$  risque d'effondrement (limon) risque d'effondrement ou de gonflement (argiles)

D<sub>1</sub>b

20.00

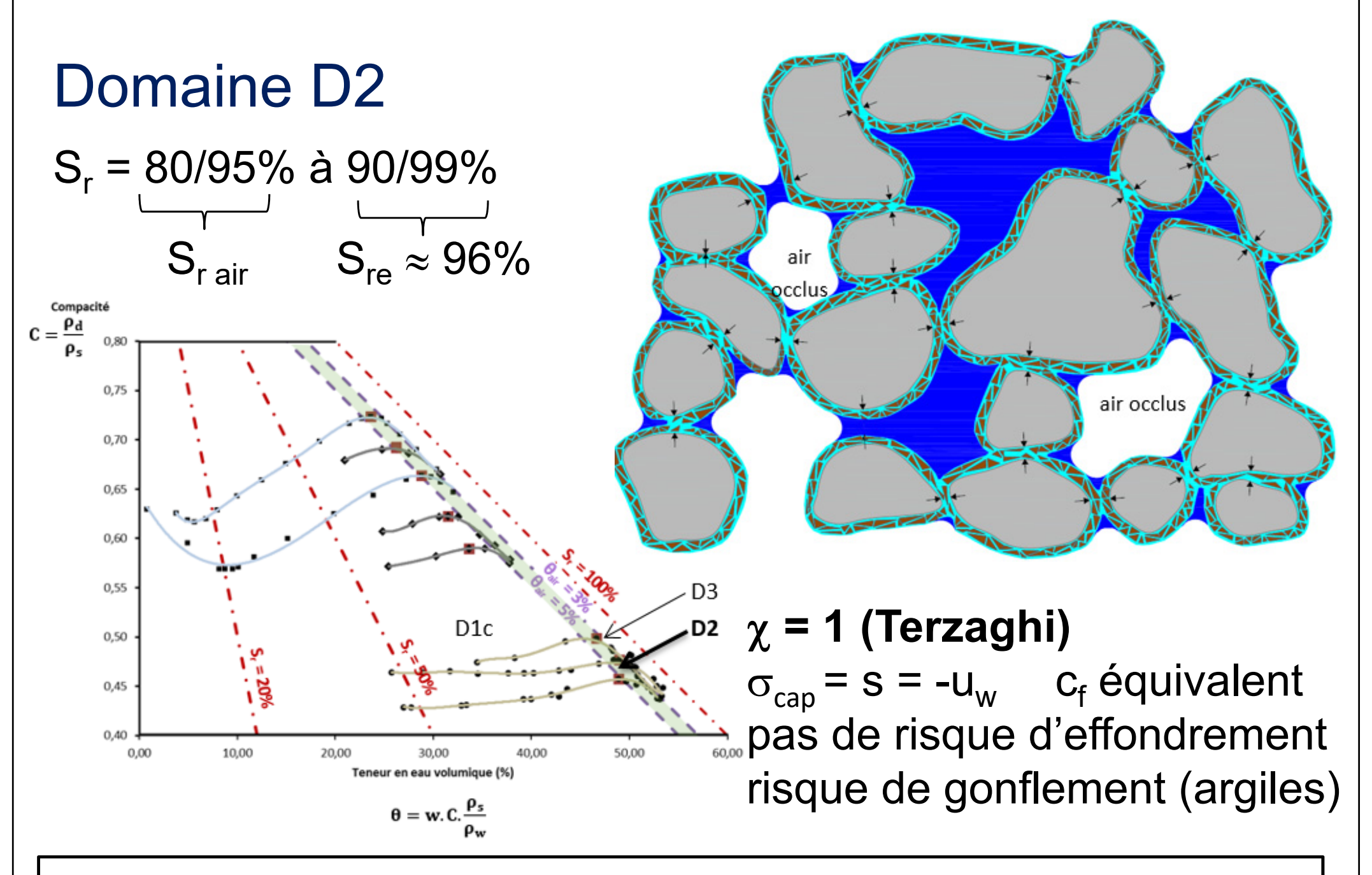
 $\theta = w. C. \frac{\rho_5}{\rho_5}$ 

10.00

0.50

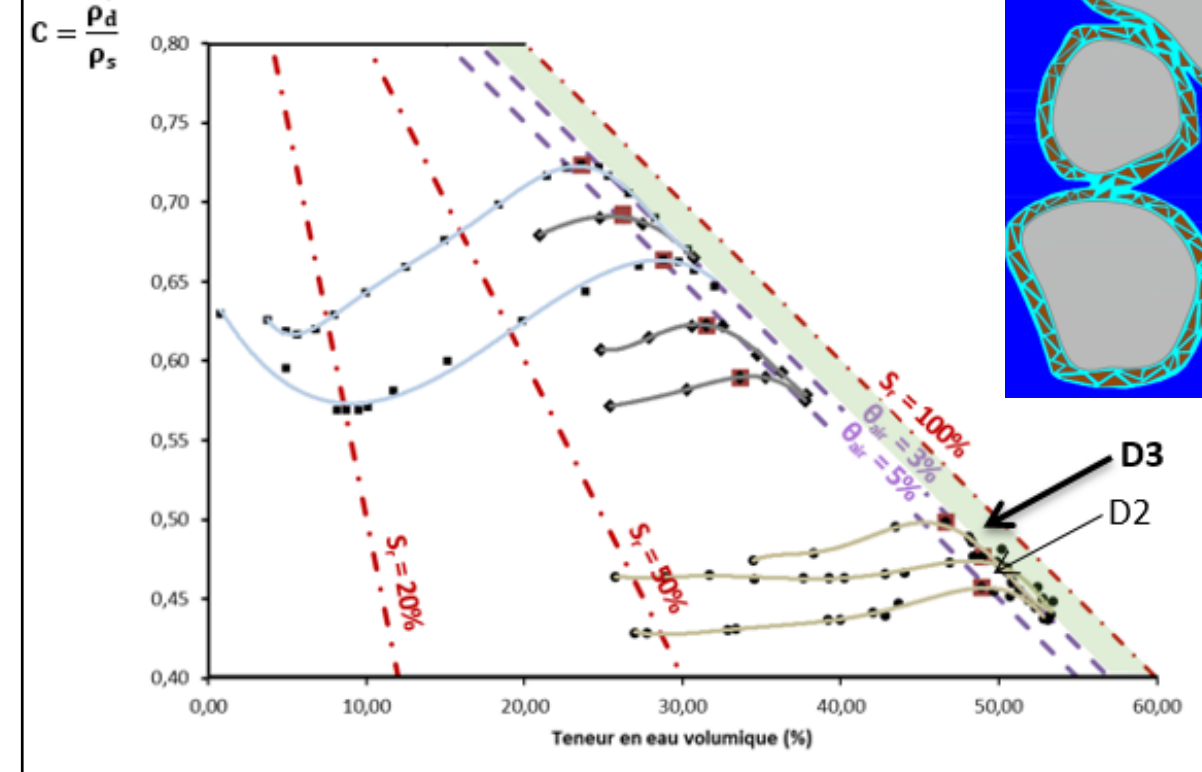
0,45

0,00





$$S_r = 90/99\%$$
 à 1  
 $S_{re} \approx 96\%$   $\theta_A \approx 1$  à 2%



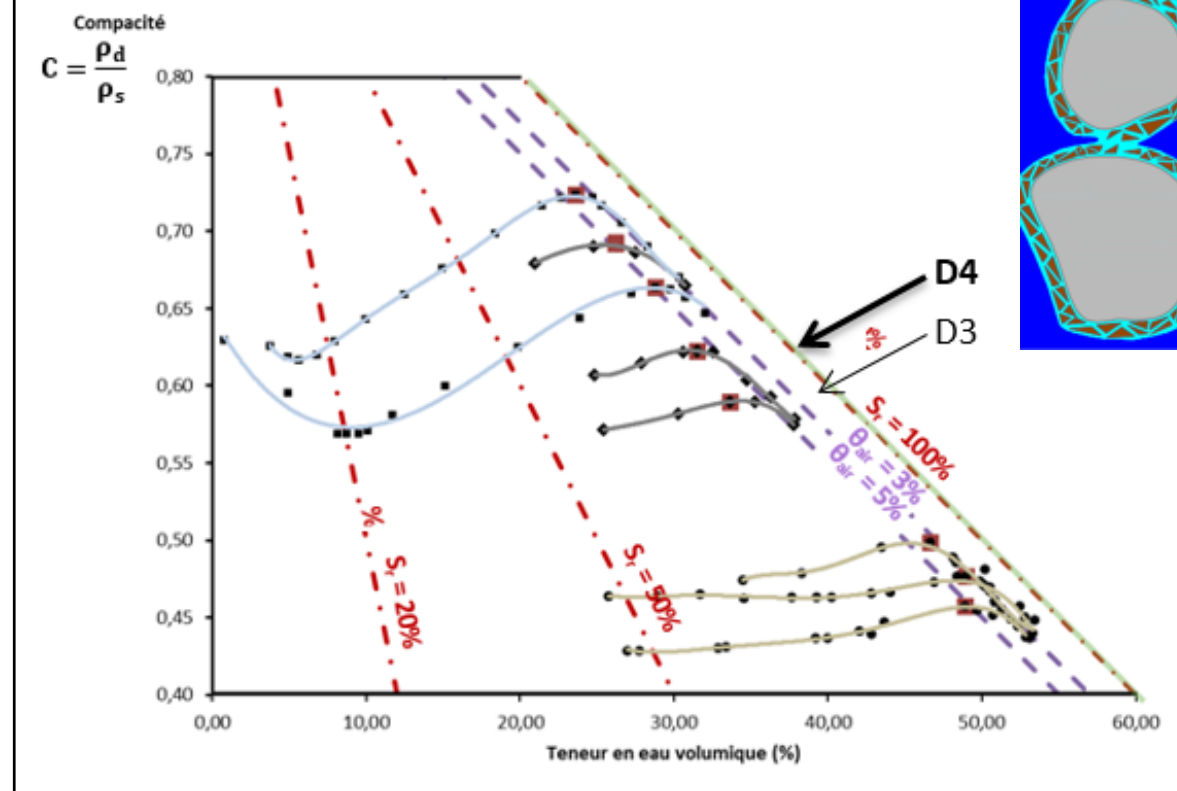
u<sub>w</sub> > 0 (Terzaghi) c<sub>f</sub> équivalent

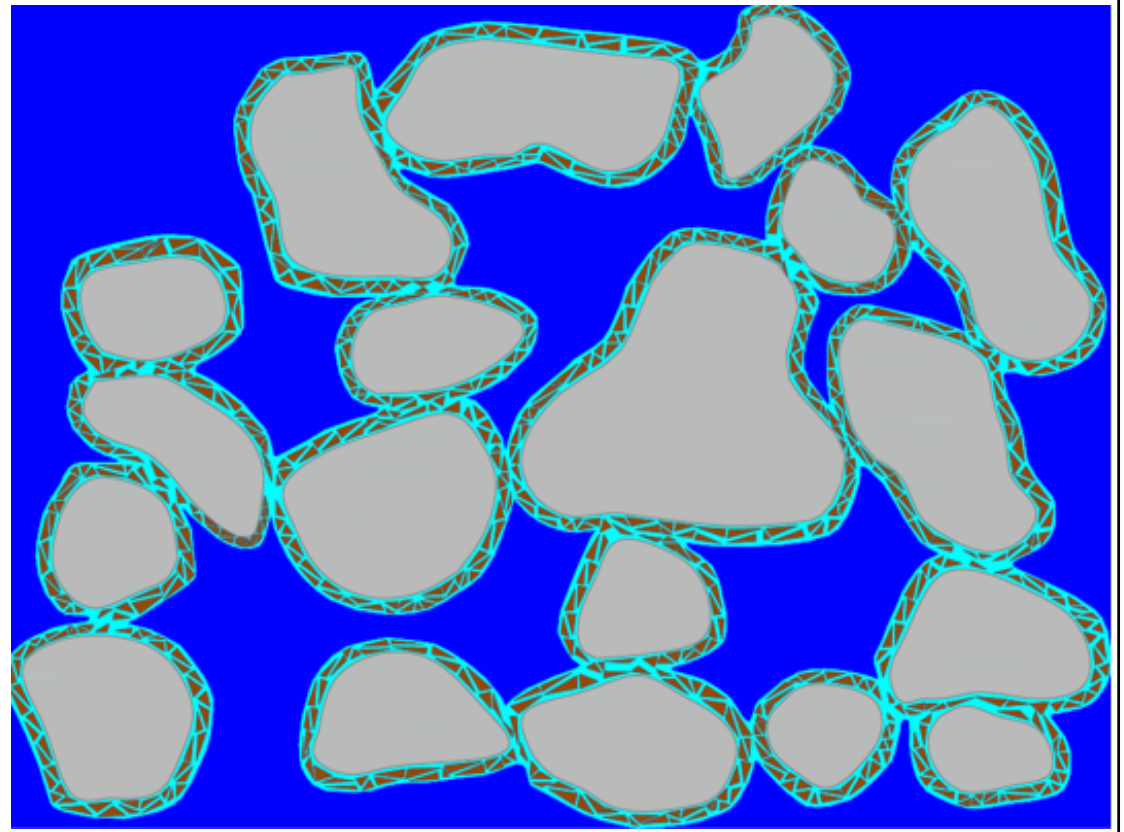
$$\theta = w.C.\frac{\rho_s}{\rho_w}$$

air occlus

# Domaine D4

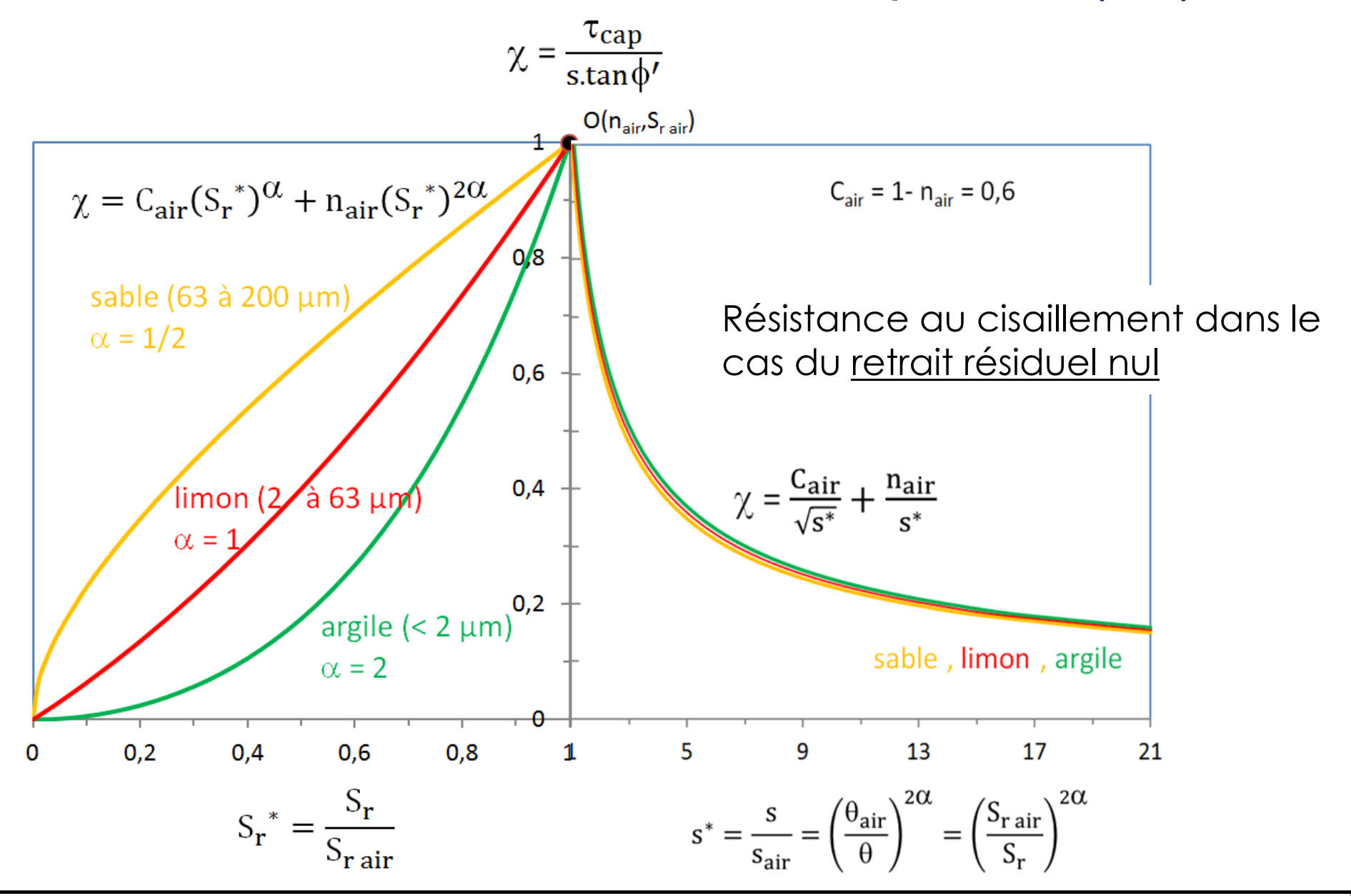
$$S_r = 1$$



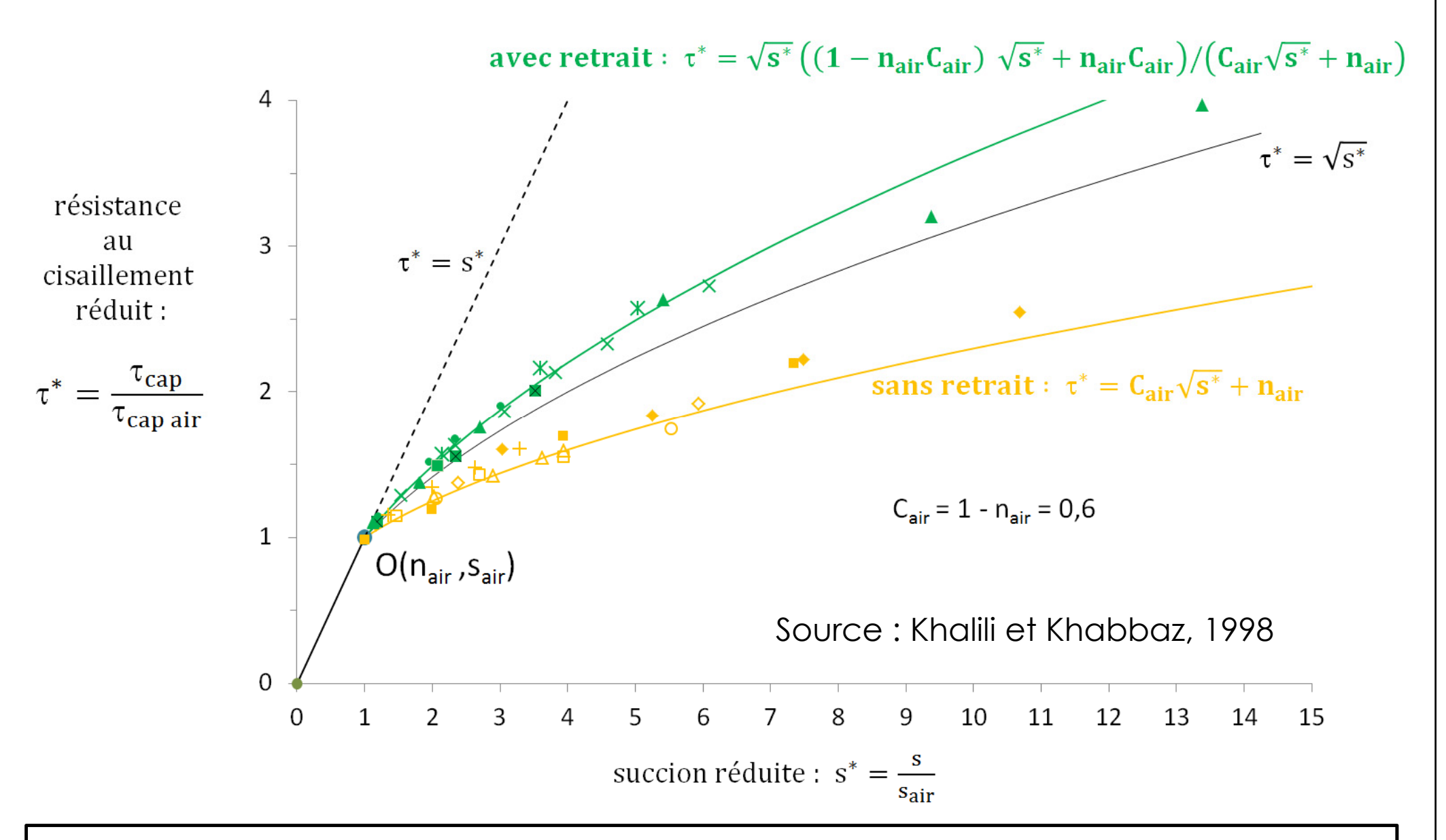


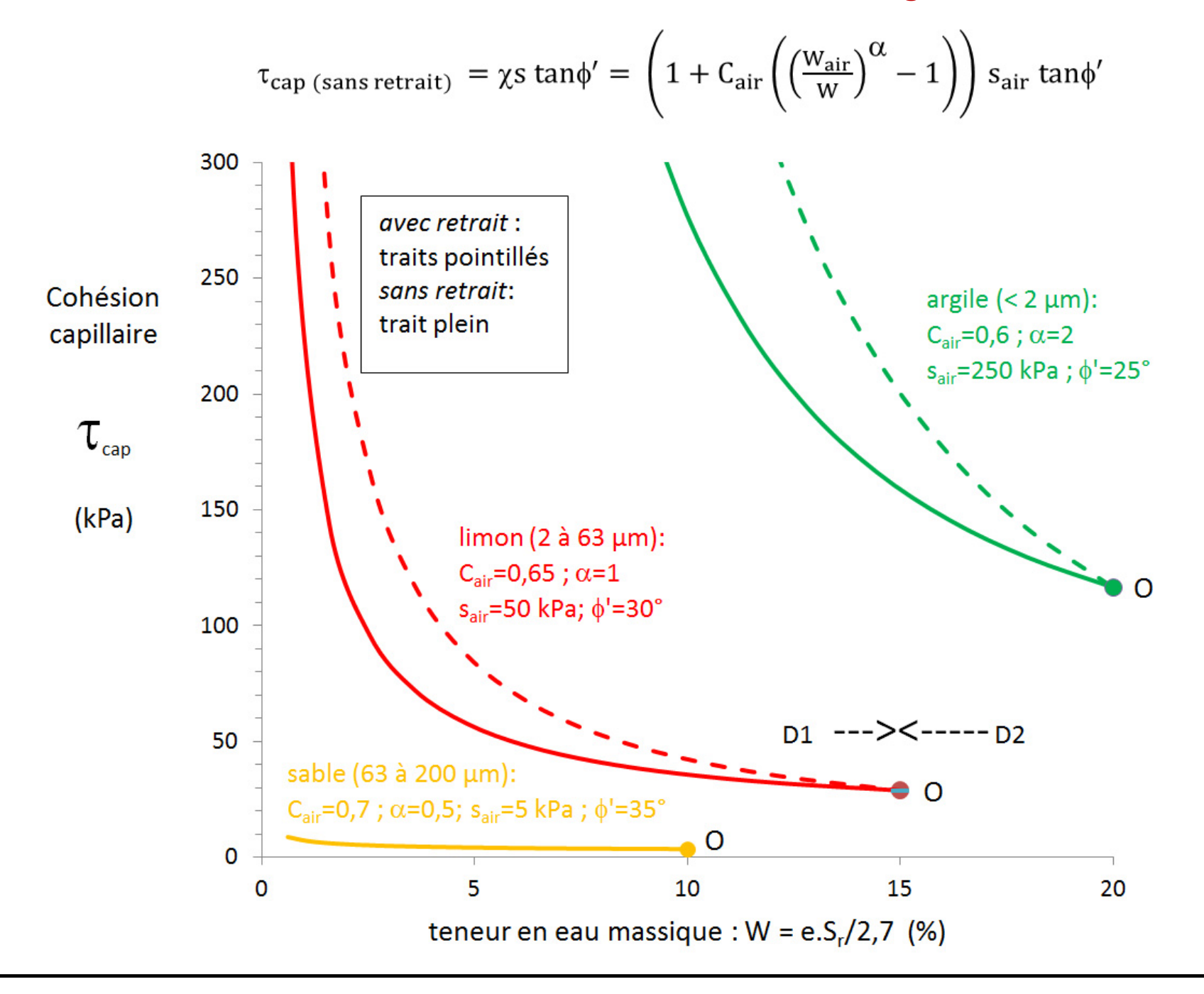
$$u_w > u_{w \text{ sat}}$$
 (Terzaghi)  
 $c_f = c_w$ 

### Modèle Terredurable, côté sec de l'Optimum (D1)

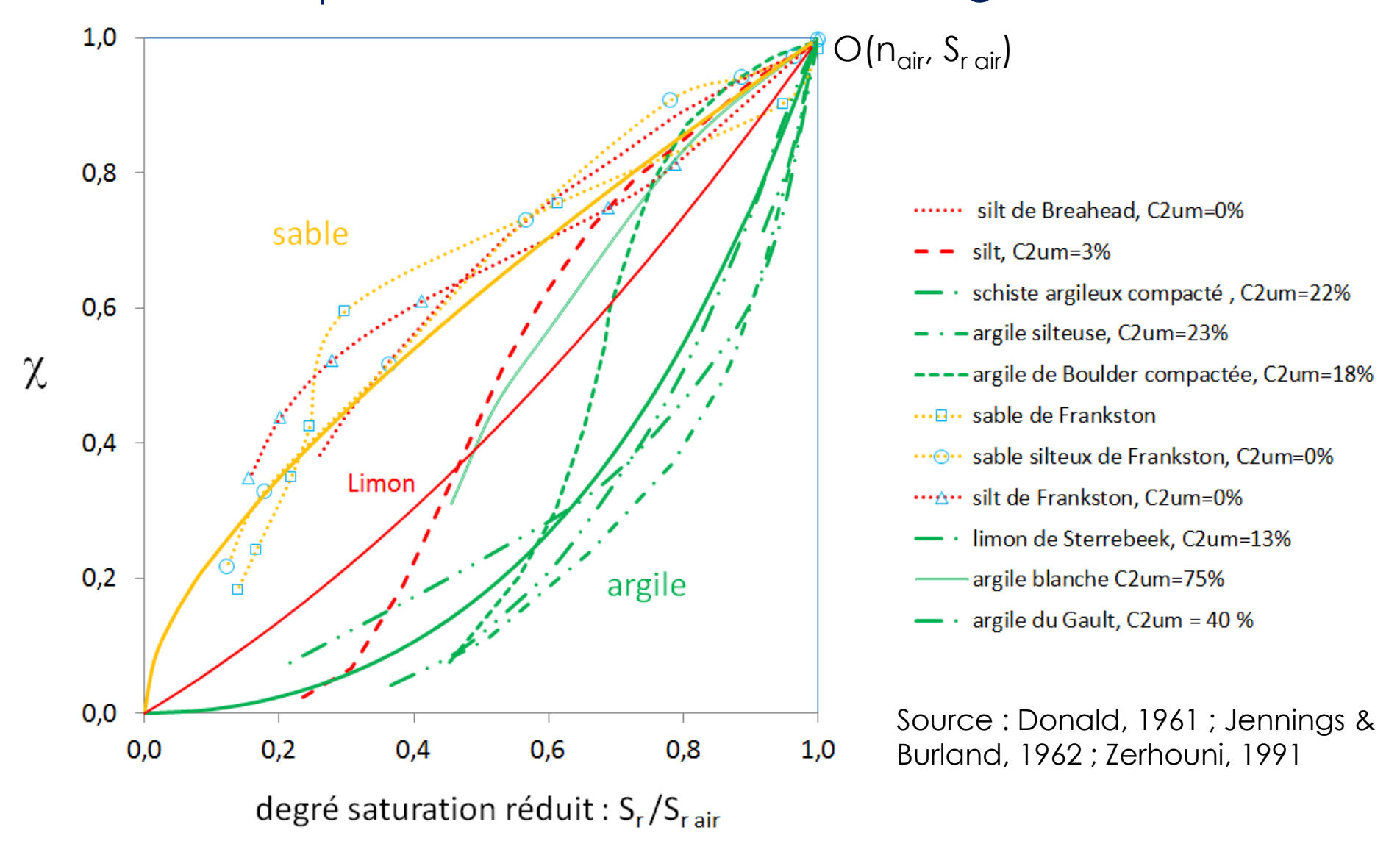


#### Résistance au cisaillement en fonction de la succion

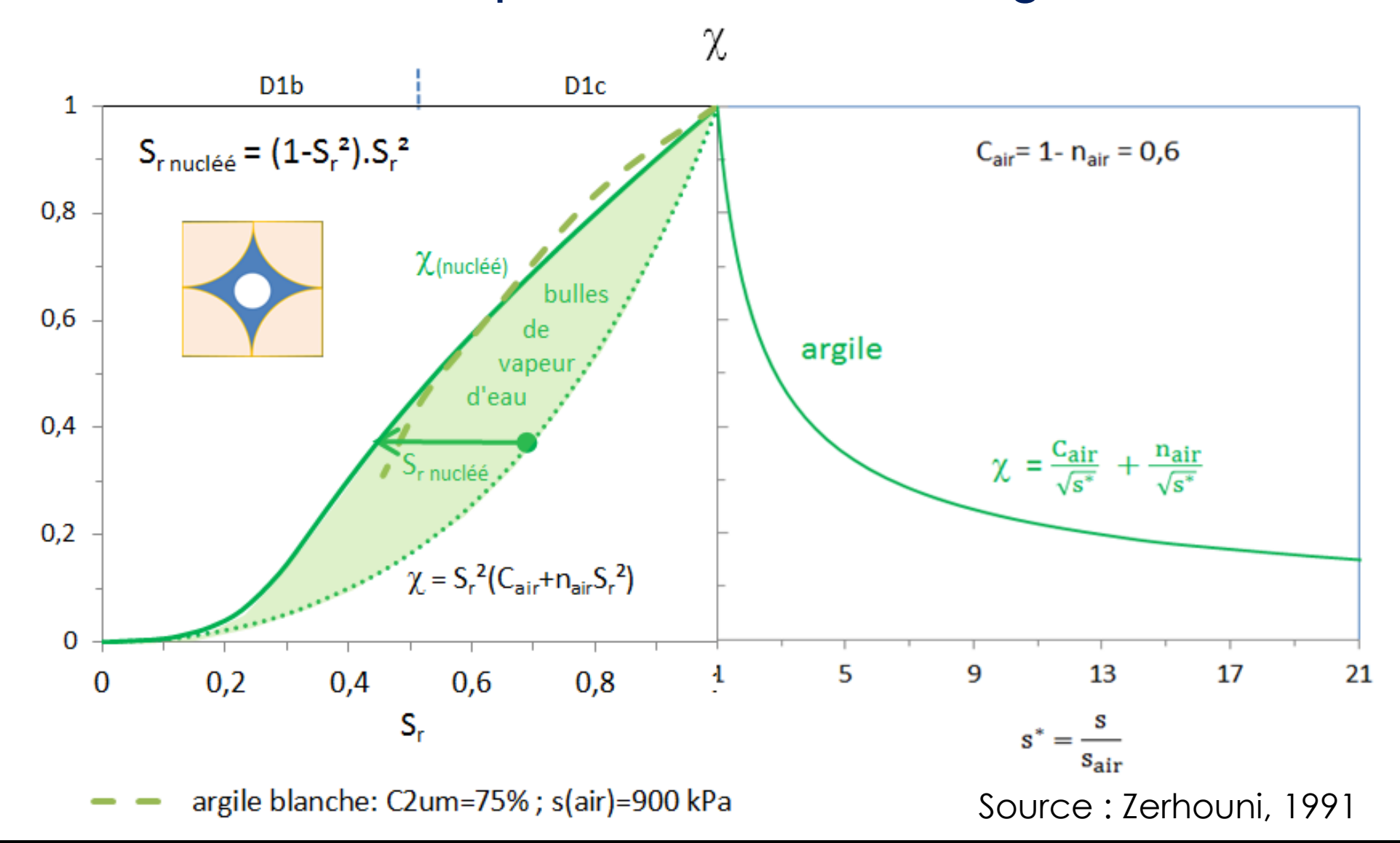




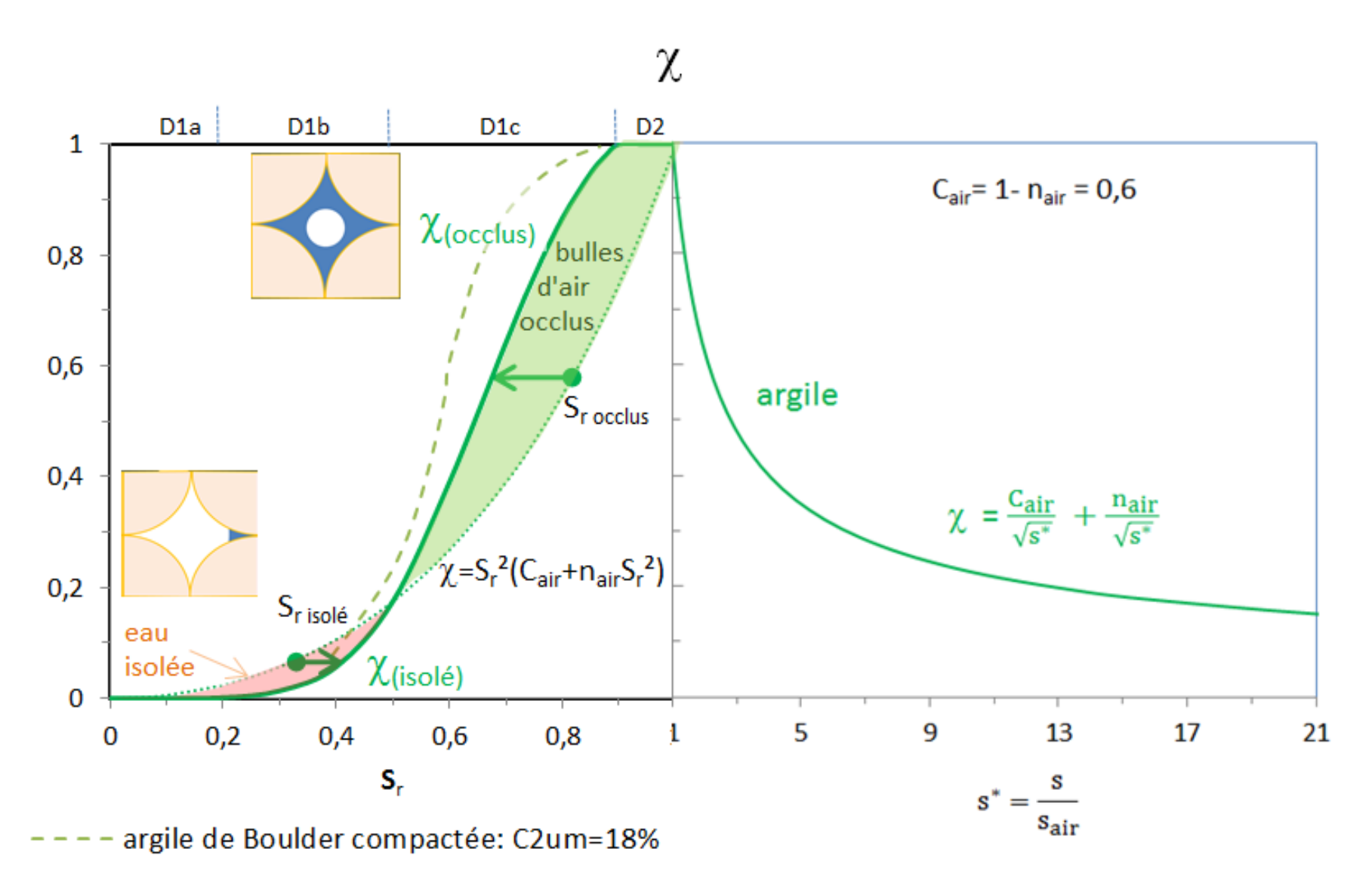
# $\chi$ théoriques et expérimentaux en fonction du degré de saturation $S_r$ sur un chemin de drainage



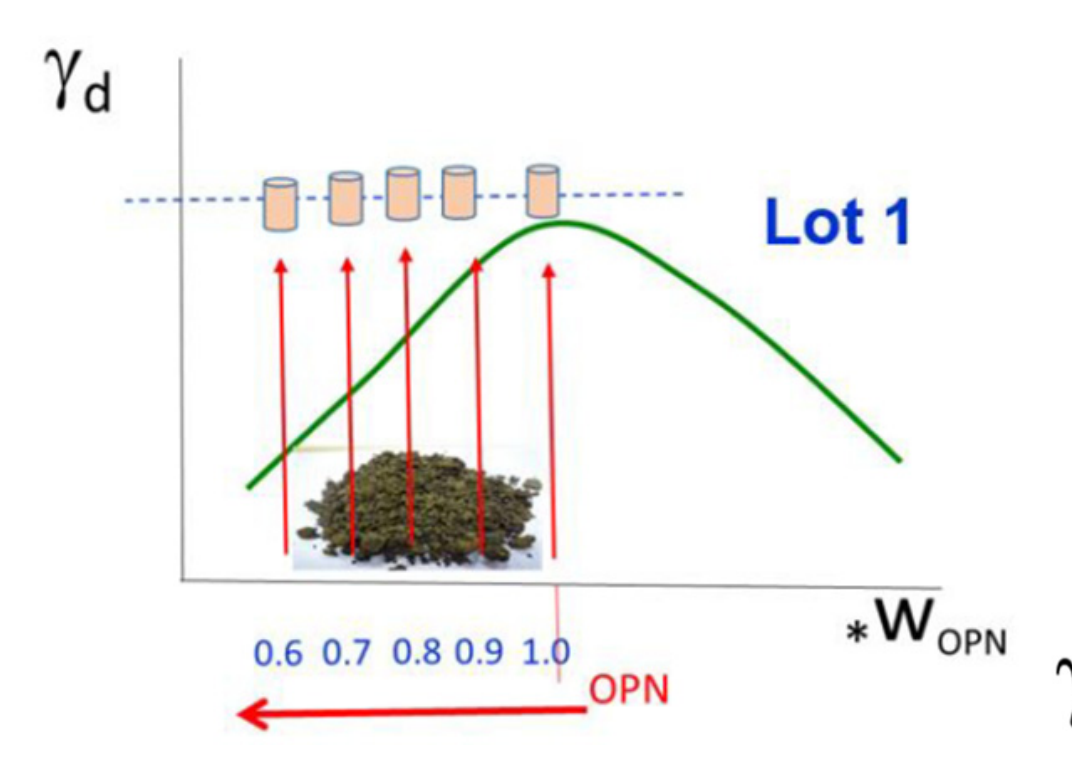
# Interférence entre percolation de l'atmosphère et nucléation de vaporisation au drainage



#### Incidence de l'air occlus et/ou de l'eau isolée



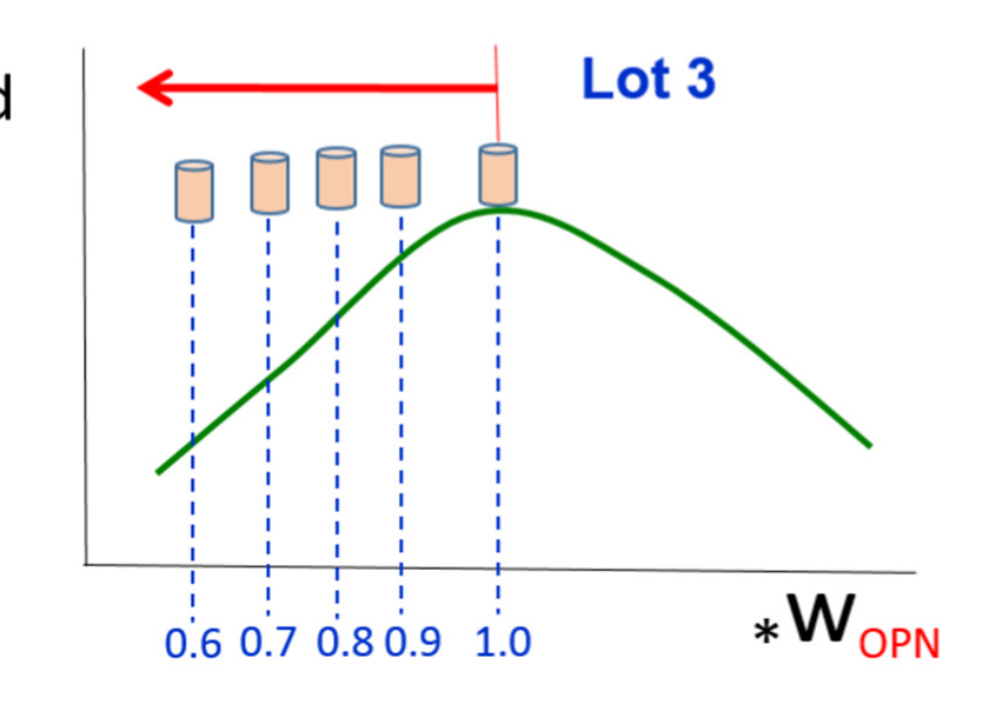
Source: Bishop, 1960

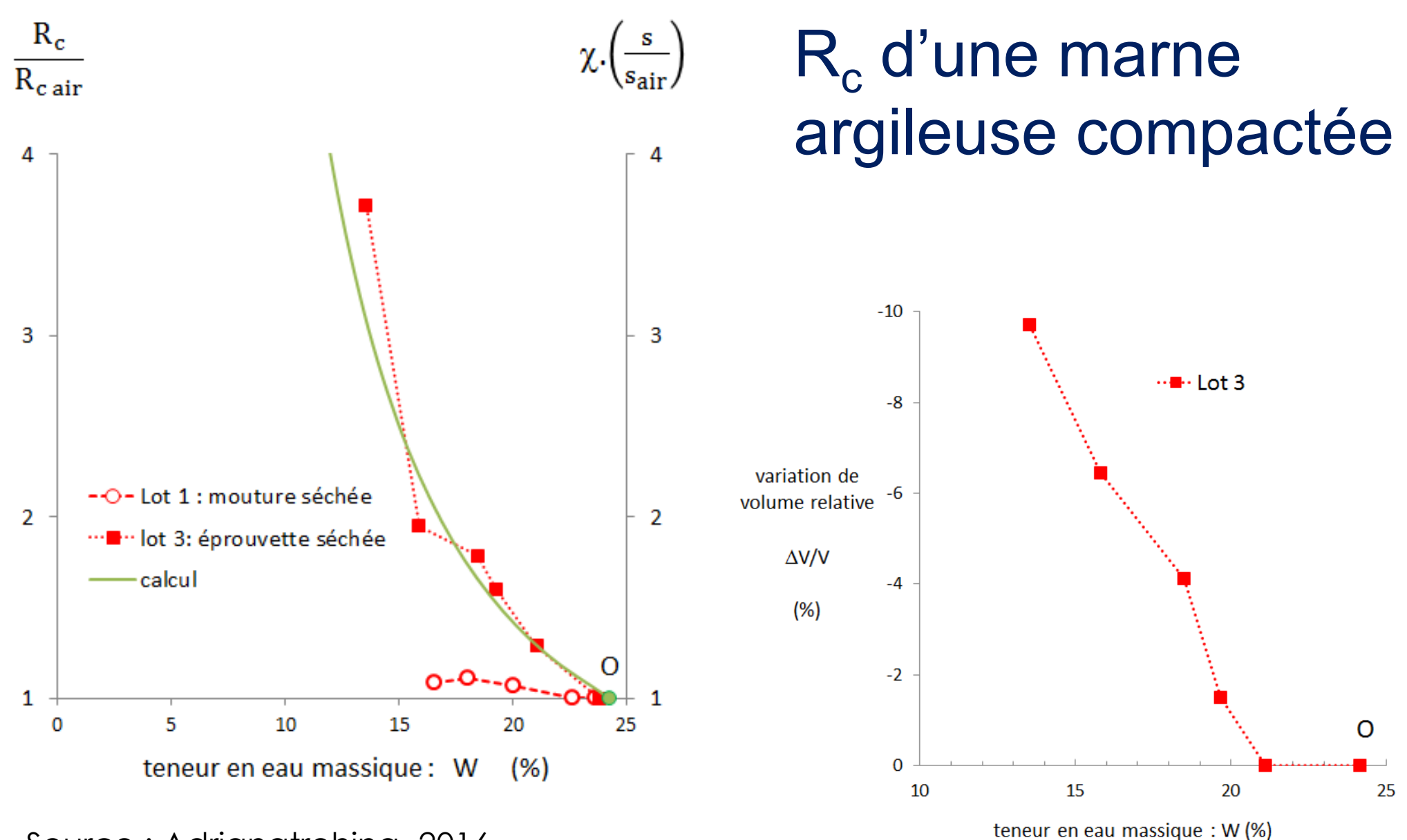


R<sub>c</sub> d'une marne argileuse compactée

 $\gamma_{dopn}$ = 14,8 kN/m<sup>3</sup>  $W_{OPN}$  = 24%  $S_{r \, air}$ =0,79 GTR A3 A4

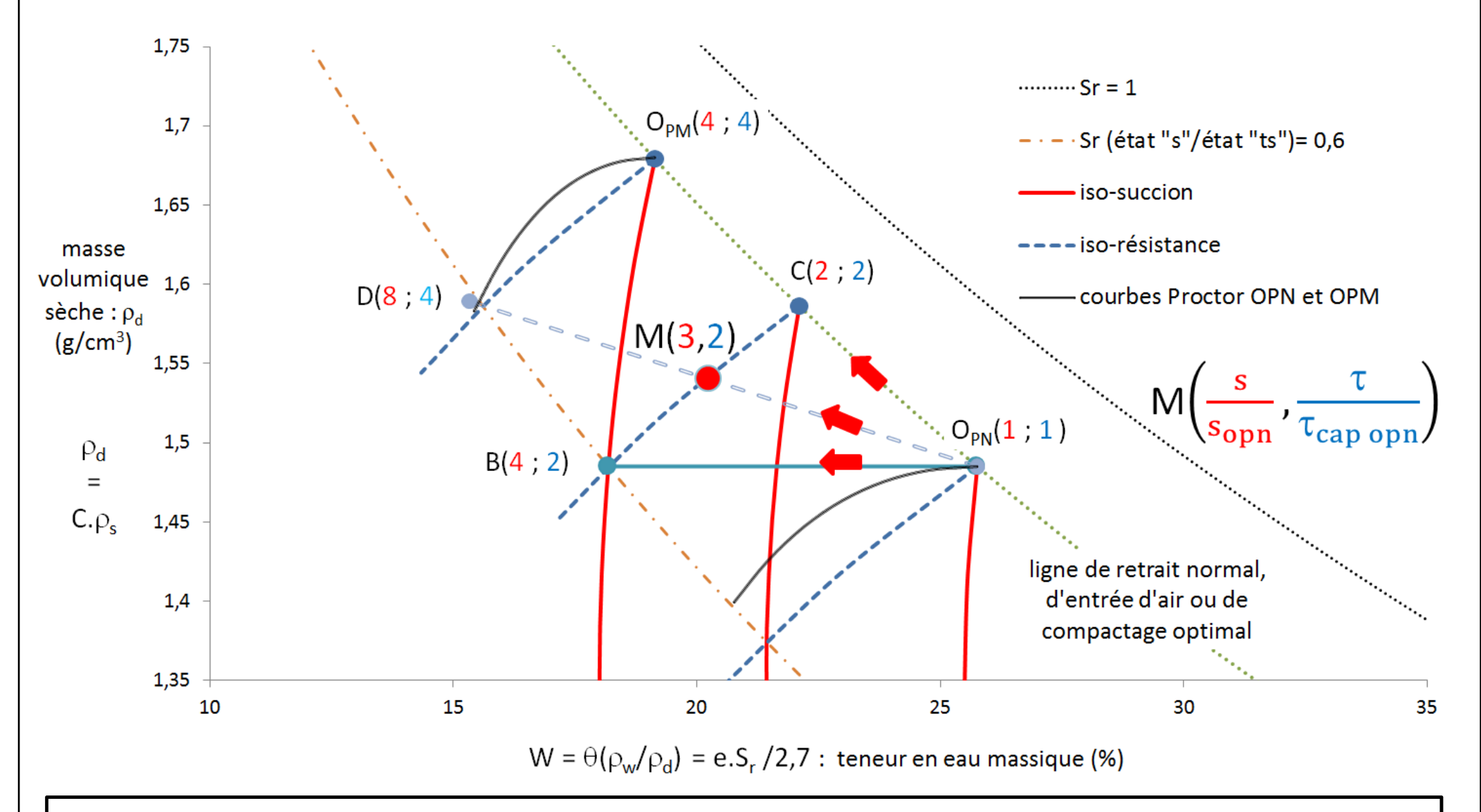
Source: Adrianatrehina, 2016





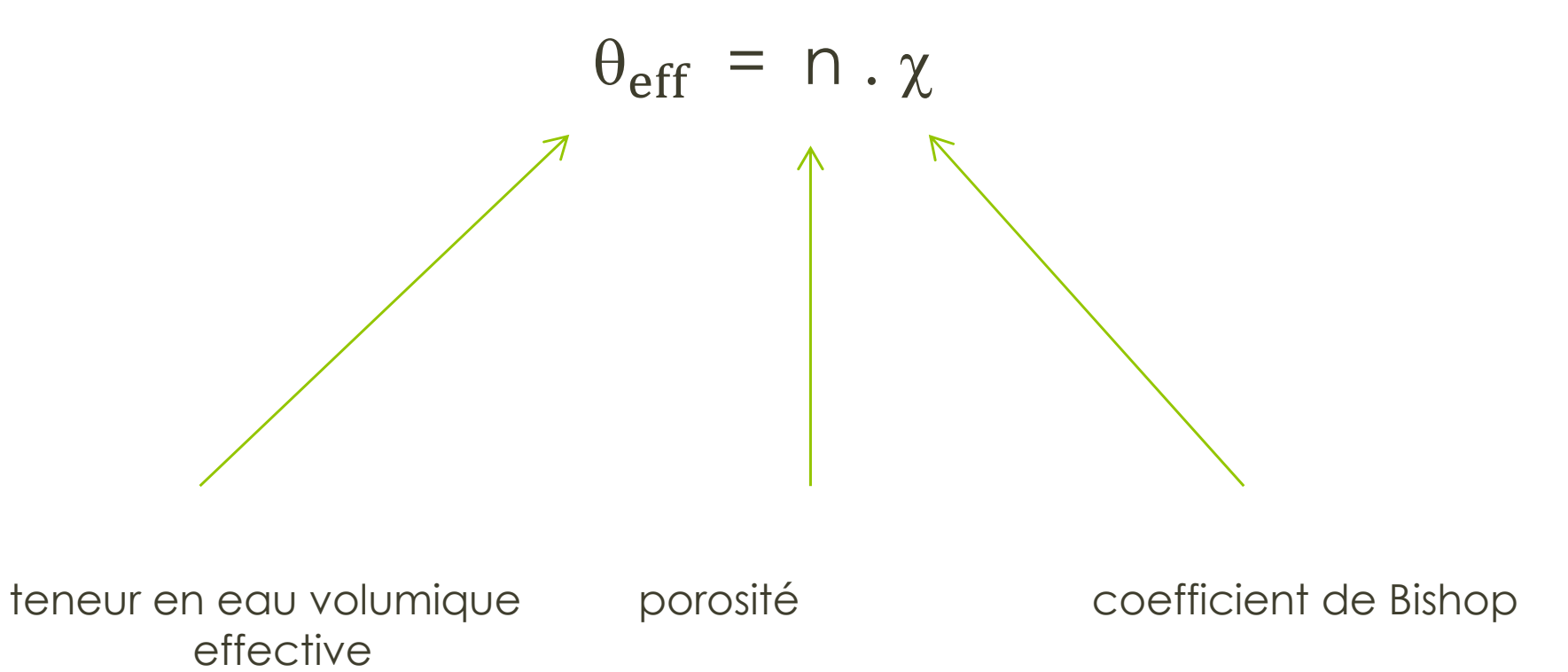
Source: Adrianatrehina, 2016

# Iso-succion et iso-résistance dans le diagramme Proctor sur des éprouvettes de sols argileux

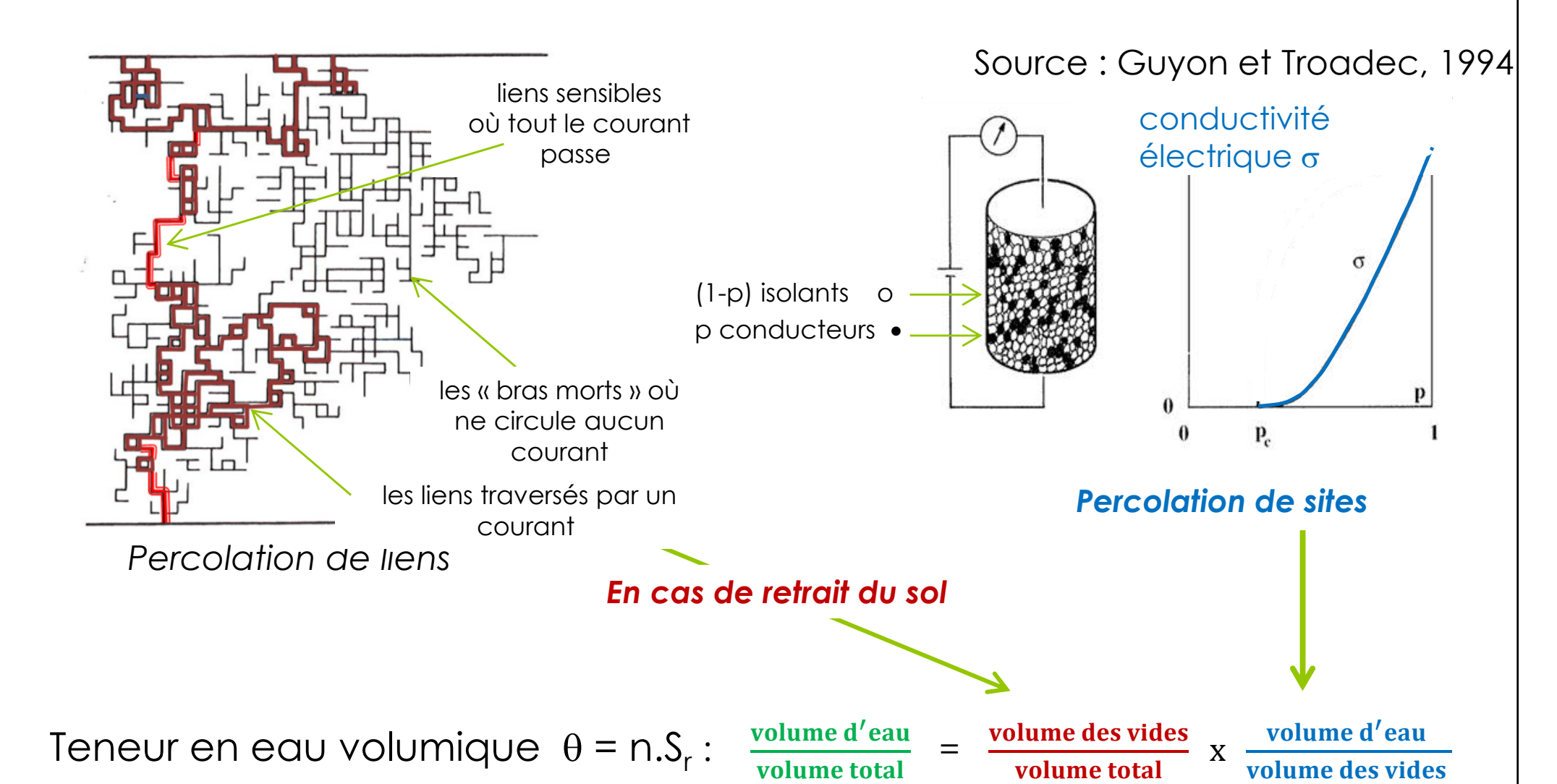




Annexes



# L'eau effective dans une argile une analogie avec la percolation électrique



L'Eau effective 
$$\theta_{eff} = n_{eff} S_{r \, eff}$$
:  $\frac{\theta_{effective}}{\theta_{satur\acute{e}e}} = \left(\frac{\theta}{\theta_{entr\acute{e}e} \, d'air}\right)^{\alpha}$ 

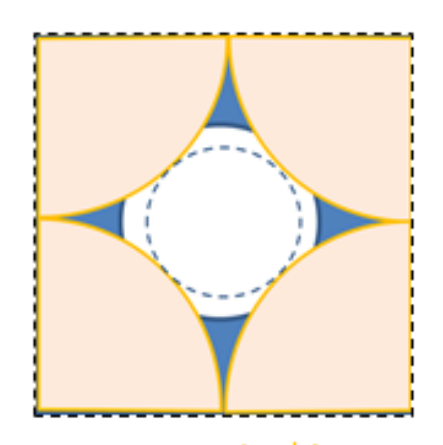
#### L'eau effective dans un sol une approche énergétique



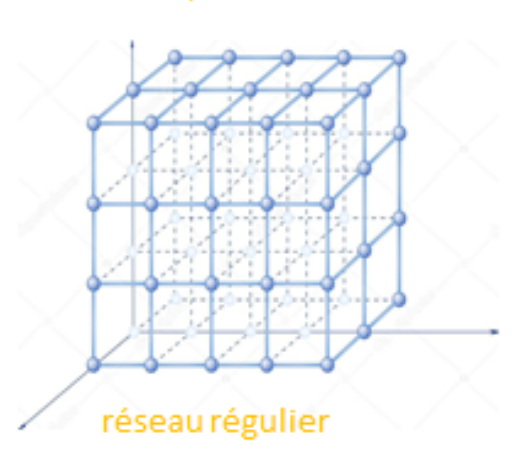
La caténoïde

La teneur en eau effective  $\theta_{eff}$  en fonction de la teneur en eau volumique ( $\theta$ ), de la succion (s) et de la surface des interfaces eau-air ( $s_w$ ):

$$dG_w = -s.d\theta + A.ds_w = -s.d\theta_{eff}$$



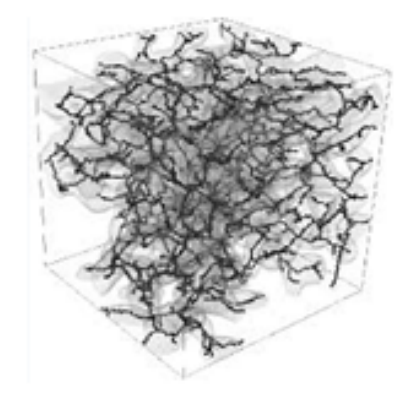
arrangement cubique de cylindres



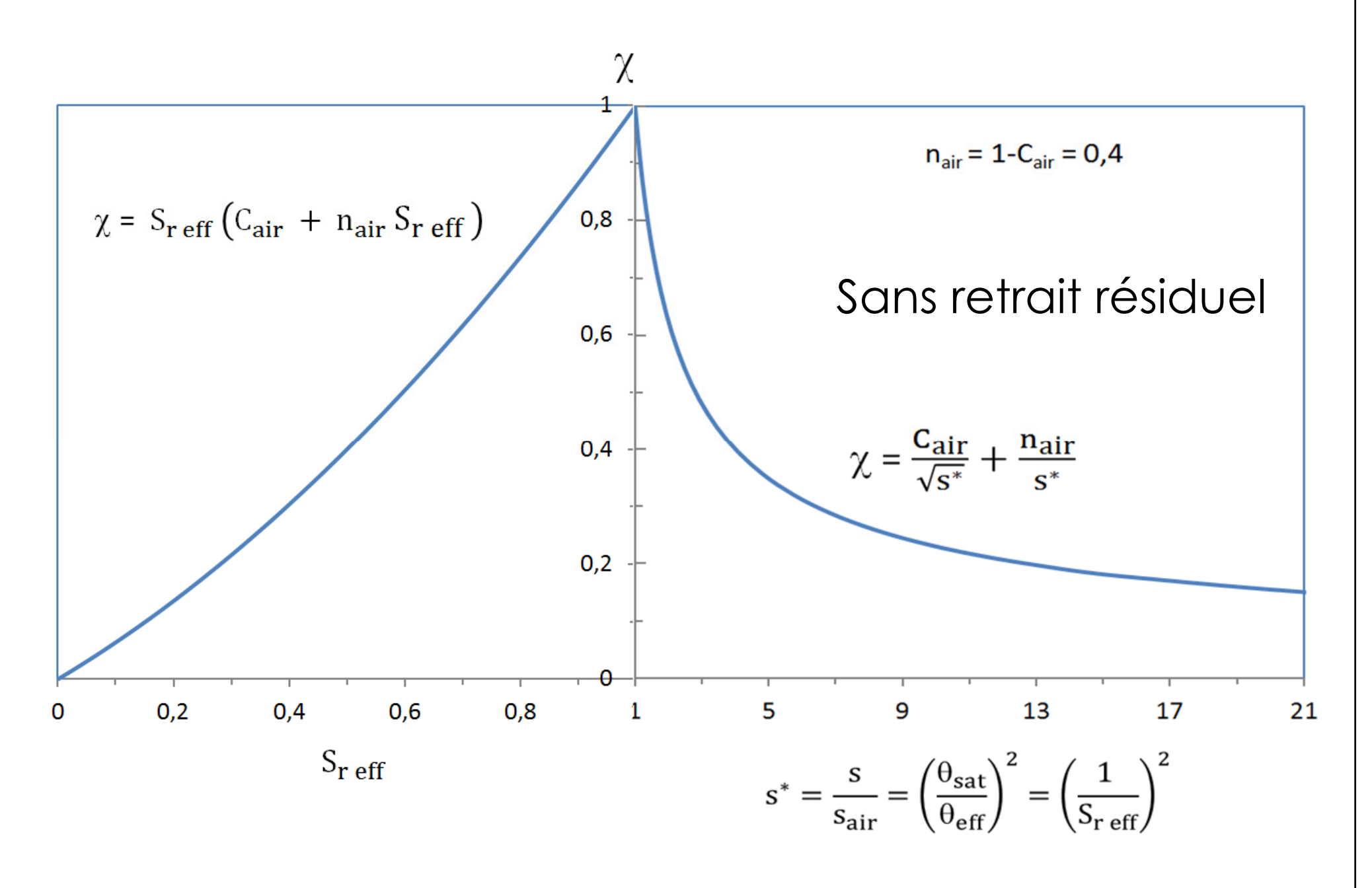
Entrée d'air D1b D1c  $\frac{\theta_{eff}}{\theta_{sat}} = \left(\frac{\theta}{\theta_{air}}\right)^{\alpha}$ sable:  $\alpha = 1/2$  $\frac{\theta_{eff}}{\theta_{sat}}$ silt: α= 0,4 argile:  $\alpha = 2$ 0,2 0,4 0,2 0,6 0,8 Entrée d'eau



salle anéchoïque : surface chiffonnée

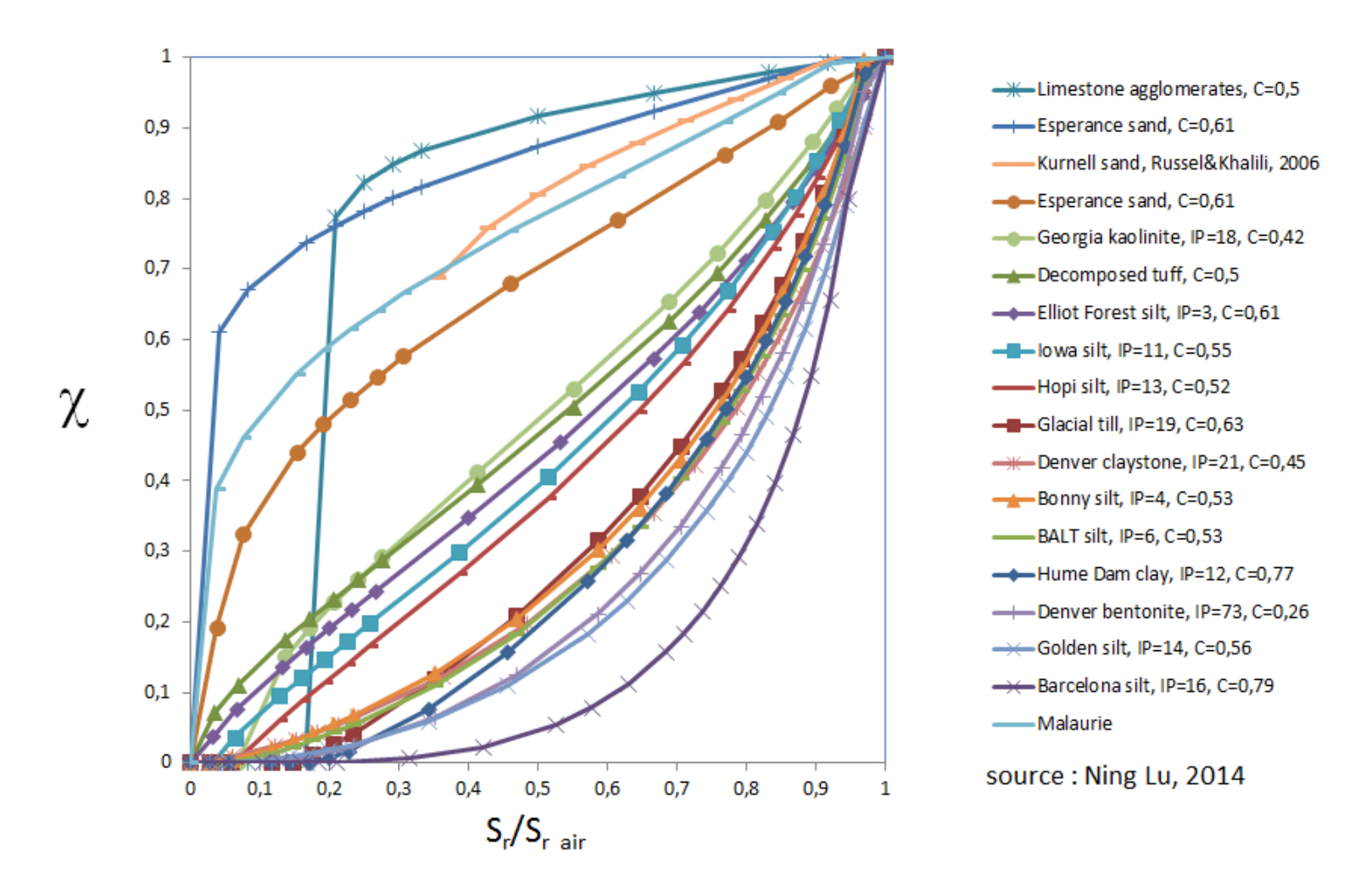


réseau percolé



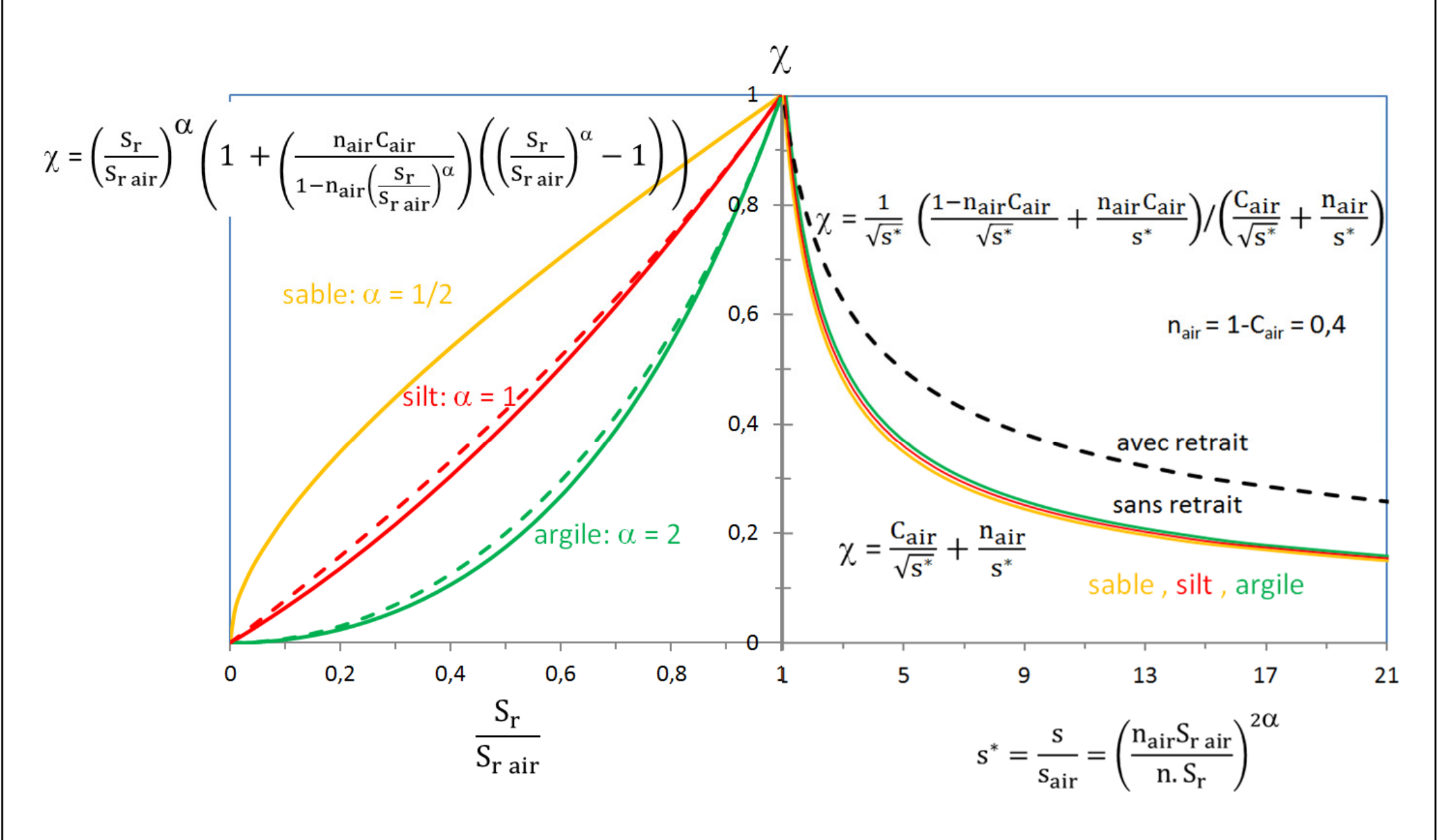
Le cisaillement en variables effectives :  $\chi s - s_{air} = C_{air} \int_{S_{r eff}}^{1} s \, dS_{r eff}$ 

#### Un lien direct entre courbe de rétention et résistance el

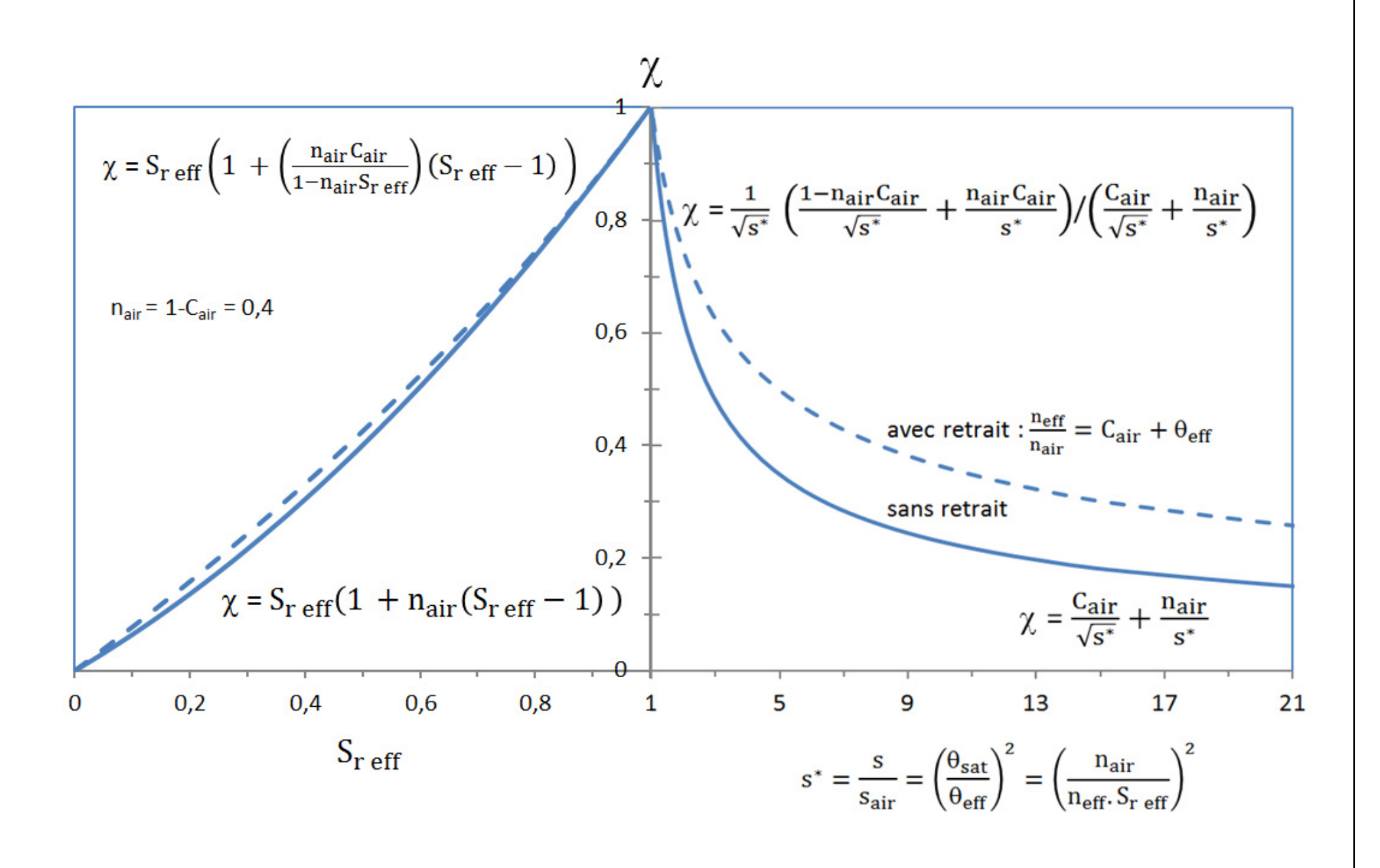


Genuchten: 
$$\frac{s}{s_{air}} = \left( \left( \frac{S_r - S_{r \, r\acute{e}s.}}{1 - S_{r \, r\acute{e}s.}} \right)^{\left( \frac{n}{1 - n} \right)} - 1 \right)^{\frac{1}{n}}$$
 Terredurable: 
$$\frac{s}{s_{air}} = \left( \frac{1}{S_{r \, eff}} \right)^2 \quad \text{et} \quad \chi = S_{r \, eff} \left( C_{air} + n_{air} S_{r \, eff} \right)$$

où n est le paramètre de Van Genuchten, 1980



Le cisaillement en variables absolues



Le cisaillement en variables effectives

## Arrangements périodiques de Taibi, 1994

